

EDUARDO TORROJA - OFICINA TÉCNICA

ACUEDUCTO DE TABLELLINA A CANAL GUADALCACIN

CALCULO LAMINAR DE LA CUBA

FECHA Septiembre 1956.

N.º 827.303

CALCULO LAMINAR DE LA CUBA.
= = = = =

DETERMINACION DE LOS ESFUERZOS EN LA CUBA
= = = = = = = = = = =

Se estudiara un solo vano ya que al estar formado el acueducto por un número muy grande de vanos y tener que sujetar los apoyos de los vanos extremos para canalizar convenientemente el esfuerzo de compresión dado por el arco, se puede suponer prácticamente que todos los vanos se comportaran como empotrados en sus dos extremos.

De acuerdo con lo anterior la determinación de los esfuerzos que actúan en la pared de la cuba exige el cálculo de una lámina cilíndrica de directriz circular y espesor uniforme empotrada en sus dos extremos. El cálculo se desarrollará para los dos casos: acueducto lleno y acueducto vacío.

Características geométricas.

La sección transversal de la cuba, Fig. 0 está formada por una corona circular simétrica respecto al plano vertical, de 1,74 m. de radio exterior, 1,59 m de radio interior y un ángulo en el centro de 252° . El radio de cálculo o radio medio vale 1,665 m.

La luz de la lámina o distancia entre ejes de pilas es de 20 m., y el espesor de la pared de 0,15 m.

Hipótesis de cálculo.

El cálculo se ha desarrollado con las hipótesis normales establecidas para las láminas cilíndricas de directriz circular, y las simplificaciones introducidas en la teoría general son las que recomienda la "American Society of Civil Engineers" en su publicación "Designing of cylindrical concrete shell roofs" del año 1952.

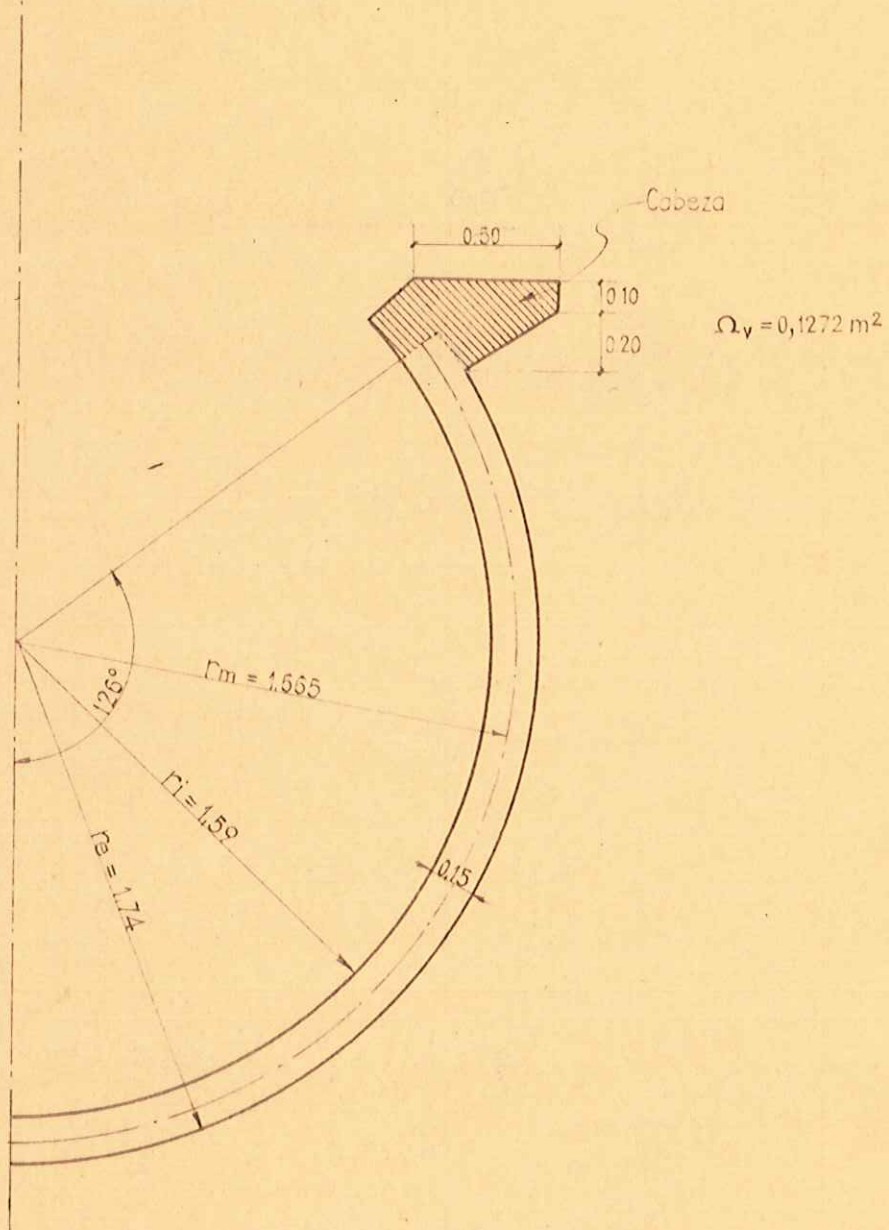


Fig. 0

Las fuerzas tanto exteriores (presión hidrostática) como el peso propio se suponen uniformes a lo largo de la generatriz y con los valores siguientes:

$$\begin{aligned}\text{Peso propio} &= \text{carga vertical de valor} = 0,15 \\ .2.400 &= 360 \text{ Kg/m}^2\end{aligned}$$

$$\begin{aligned}\text{Presión hidrostática} &= \text{carga normal a la pared} \\ \text{variable con la altura} &= 1.000 \cdot h \text{ Kg/m}^2\end{aligned}$$

En todo el cálculo se han considerado - las cargas desarrolladas en serie de Fourier a lo largo de las generatrices, limitándose este desarrollo a los dos primeros términos de la serie, - ya que la pequeña importancia del 2º término con relación al primero permite despreciar la influencia de los restantes.

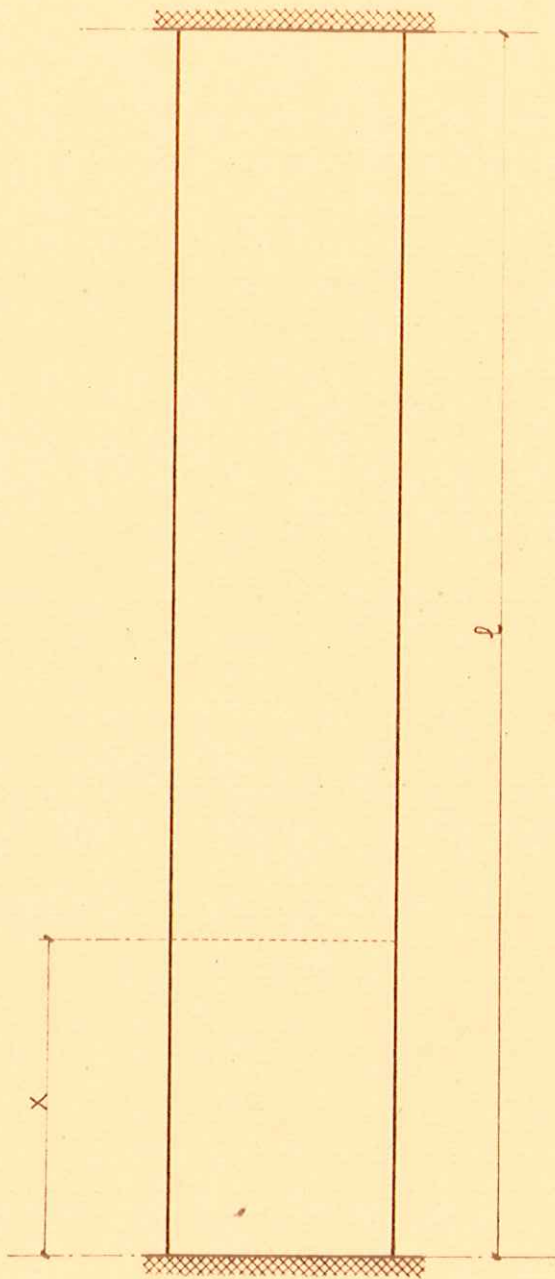
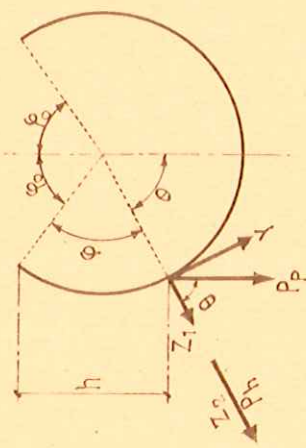


FIG. 1



Determinación de las expresiones de los esfuerzos y recorridos en la lámina.

Como en este caso, las condiciones en los bordes frontales son de empotramiento perfecto, hay que hallar las expresiones de los esfuerzos y recorridos con la condición de que los corrimientos en los apoyos sean nulos.

A continuación se estudian los esfuerzos y recorridos membrana para acueducto lleno. Ver figura 1.

La presión hidrostática vale:

$$z_2 = p_h = 1.000 h = 1.000 r [\cos \varphi - \cos(\varphi + \varphi_0)]$$

La componente normal a la lámina del peso propio tiene de expresión:

$$z_1 = p_p \cdot \cos \theta = -360 \cos (\varphi + \varphi_0)$$

y la componente tangencial:

$$Y = -p_p \cdot \sin \theta = -360 \sin (\varphi + \varphi_0)$$

De lo anterior se deduce que la componente normal y tangencial a la lámina de las cargas exteriores tienen las siguientes expresiones:

$$Z = 1000 r \cos \varphi_0 - (1000 r + 360) \cos(\varphi + \varphi_0)$$

$$Y = -360 \sin(\varphi + \varphi_0)$$

y desarrollando las cargas en serie de Fourier, tomando como origen el borde frontal se tiene:

$$Z = \frac{4}{\pi r^2} \cdot [1000 r \cos \varphi_0 - (1000 r + 360) \cos(\varphi + \varphi_0)] \sin \frac{\pi x}{l}$$

$$Y = \frac{-4}{\pi r^2} \cdot 360 \sin(\varphi + \varphi_0) \sin \frac{\pi x}{l}$$

y las expresiones de los esfuerzos se obtendrán, como siempre, mediante cuadraturas sucesivas:

$$\sigma_{\varphi m} = \frac{4r}{\pi r^2} [1000 r \cos \varphi_0 - (1000 r + 360) \cos(\varphi + \varphi_0)] \sin \frac{\pi x}{l}$$

$$\tau_{\varphi m} = -\frac{1}{r} \int \frac{\partial \sigma_{\varphi m}}{\partial \varphi} dx + Y dx + f_1(\varphi) = \frac{41}{n^2 r^2} (1000 r + 720) \sin(\varphi + \varphi_0) \cos \frac{\pi x}{l} + f_1(\varphi)$$

Teniendo en cuenta la simetría para el centro del vano ($x = \frac{1}{2}$) el esfuerzo tangencial $N_{\varphi x_m}$ debe ser cero y esta condición da el valor de $f_1(\varphi)$ que será

$$f_1(\varphi) = 0$$

$$N_{x_m} = -\frac{1}{r} \int \frac{\partial N_{\varphi x_m}}{\partial \varphi} dx + f_2(\varphi) = -\frac{4l^2}{rn^3 r^3} (1000 x + 720) \cos(\varphi + \varphi_o) \sin \frac{nx}{l} + f_2(\varphi)$$

$$u_m = \frac{r}{Et} \int \frac{N_{x_m}}{r} dx + f_3(\varphi) = -\frac{1}{Et} \frac{4l^3}{rn^4 r^4} (1000 x + 720) \cos(\varphi + \varphi_o) \cos \frac{nx}{l} + \frac{1}{Et} x \cdot f_2(\varphi) + f_3(\varphi)$$

$$v_m = -\int \frac{1}{r} \frac{\partial u_m}{\partial \varphi} dx + \frac{2r}{Et} \int \frac{N_{\varphi x_m}}{r} dx + f_4(\varphi) = -\frac{4l^2}{n^3 r^3} \frac{1}{Et} (1000 x + 720) \left(2 + \frac{1}{r^2 n^2 r^2}\right) \sin(\varphi + \varphi_o) \sin \frac{nx}{l} - \frac{1}{Et} \frac{x^2}{2r} \frac{d}{d\varphi} f_2(\varphi) - \frac{x}{r} \frac{d}{d\varphi} f_3(\varphi) + f_4(\varphi)$$

$$\begin{aligned}
 w_m = - \frac{\partial v_m}{\partial \varphi} + \frac{x}{Et} \cdot w_{\varphi_m} &= - \frac{4l^2}{n^3 r^3} \frac{1}{Et} (1000 r + 720) (2 + \\
 &+ \frac{l^2}{n^2 r^2 x^2}) \cos(\varphi + \varphi_0) \sin \frac{nrx}{l} + \frac{4r^2}{n^2} \cdot \frac{1}{Et} [1000 r \cos \varphi_0 - \\
 &- (1000 r + 360) \cos(\varphi + \varphi_0)] \sin \frac{nrx}{l} + \frac{d}{d\varphi} f_4(\varphi) - \\
 &- \frac{1}{Et} \frac{x^2}{2r} \frac{d^2}{d\varphi^2} f_2(\varphi) - \frac{x}{r} \frac{d^2}{d\varphi^2} f_3(\varphi)
 \end{aligned}$$

Las funciones $f_2(\varphi)$, $f_3(\varphi)$ y $f_4(\varphi)$ se determinarán con las condiciones de sustentación de los dos apoyos frontales, es decir, para los valores $x = 0$ y $x = l$, los corrimientos deben ser nulos,

$$u_m = v_m = w_m = 0$$

$$x = 0 \quad u_m = 0 \quad " \quad f_3(\varphi) = - \frac{1}{Et} \frac{4l^3}{rx^4 r^4} (1000 r +$$

$$+ 720) \cdot \cos(\varphi + \varphi_0)$$

$$x = l \quad u_m = 0 \quad " \quad f_2(\varphi) = 2 \frac{4l^2}{rx^4 r^4} (1000 r +$$

$$+ 720) \cos(\varphi + \varphi_0)$$

$$x = 0 \quad v_m = 0 \quad " \quad f_4(\varphi) = 0$$

$$\left. \begin{array}{ll} x = 1 & v_m = 0 \\ x = 0 & w_m = 0 \\ x = 1 & w_m = 0 \end{array} \right\} \text{Se cumplen idénticamente con los valores hallados anteriormente para las funciones de } \varphi.$$

Sustituyendo estos valores de $f_2(\varphi)$, $f_3(\varphi)$ y $f_4(\varphi)$ en las expresiones de los esfuerzos y recorridos se tienen las siguientes expresiones:

Esfuerzos membrana.- Acueducto lleno

$$N_{\varphi_m} = \frac{4r}{n\kappa} \left[1000 r \cos \varphi_o - (1000 r + 360) \cos(\varphi + \varphi_o) \right] \sin \frac{n\kappa x}{1}$$

$$N_{\varphi x_m} = \frac{4l}{n^2 \kappa^2} (1000 r + 720) \sin(\varphi + \varphi_o) \cos \frac{n\kappa x}{1}$$

$$N_{x_m} = \frac{4l^2}{r n^3 \kappa^3} (1000 r + 720) \cos(\varphi + \varphi_o) \left[\frac{2}{n\kappa} - \sin \frac{n\kappa x}{1} \right]$$

$$u_m = \frac{1}{Et} \frac{4l^3}{rn^4 \kappa^4} (1000 r + 720) \cos(\varphi + \varphi_o) \left[\cos \frac{n\kappa x}{1} + \frac{2x}{1} - 1 \right]$$

$$v_m = \frac{1}{Et} \frac{4l^2}{r^2 n^3 \kappa^3} (1000 r + 720) \sin(\varphi + \varphi_o) \left[\left(2r^2 + \frac{l^2}{n^2 \kappa^2} \right) \sin \frac{n\kappa x}{1} + \frac{x}{n\kappa} (x - 1) \right]$$

$$w_m = - \frac{1}{Et} \frac{4l^2}{r^2 n^3 r^3} (1000 r + 720) \cos(\varphi + \varphi_0) \left[(2r^2 + \frac{l^2}{n^2 r^2}) \sin \frac{nrx}{l} + \frac{x}{nr}(x-1) \right] + \frac{1}{Et} \frac{4r^2}{nr} \left[(1000 r \cos \varphi_0 - (1000 r + 360) \cos(\varphi + \varphi_0)) \right] \cdot \sin \frac{nrx}{l} \quad (I)$$

Esfuerzos membrana.- Acueducto vacío

En este caso:

$$Z = - \frac{4}{nr} 360 \cos(\varphi + \varphi_0) \sin \frac{nrx}{l}$$

$$Y = - \frac{4}{nr} 360 \sin(\varphi + \varphi_0) \sin \frac{nrx}{l}$$

y análogamente al caso de acueducto lleno se obtendrían las expresiones siguientes:

$$N_{\varphi_m} = - \frac{4r}{nr} 360 \cos(\varphi + \varphi_0) \sin \frac{nrx}{l}$$

$$N_{\varphi x_m} = \frac{4l}{n^2 r^2} 720 \sin(\varphi + \varphi_0) \cos \frac{nrx}{l}$$

$$N_{x_m} = \frac{4l^2}{r n^3 r^3} 720 \cos(\varphi + \varphi_0) \left[\frac{2}{nr} - \sin \frac{nrx}{l} \right]$$

(II)

$$\left. \begin{aligned}
 u_m &= \frac{1}{Et} \frac{4l^3}{r^2 n^4 k^4} 720 \cos(\varphi + \varphi_0) \left[\cos \frac{nrx}{l} + \frac{2x}{l} - 1 \right] \\
 v_m &= \frac{1}{Et} \frac{4l^2}{r^2 n^3 k^3} 720 \sin(\varphi + \varphi_0) \left[\left(2r^2 + \frac{l^2}{n^2 k^2} \right) \sin \frac{nrx}{l} + \right. \\
 &\quad \left. + \frac{x}{nr} (x - 1) \right] \\
 w_m &= - \frac{1}{Et} \frac{4l^2}{r^2 n^3 k^3} 720 \cos(\varphi + \varphi_0) \left[\left(2r^2 + \frac{l^2}{n^2 k^2} \right) \sin \frac{nrx}{l} + \right. \\
 &\quad \left. + \frac{x}{nr} (x - 1) \right] - \frac{1}{Et} \frac{4r^2}{nr} 360 \cos(\varphi + \varphi_0) \sin \frac{nrx}{l}
 \end{aligned} \right\} \quad (II)$$

Esfuerzos debidos al estado homogéneo.

Si se designa con el subíndice s los esfuerzos y recorridos debidos a la lámina simplemente apoyada en los extremos, los esfuerzos y recorridos correspondientes a otra sustentación distinta serán:

$$\bar{N}\varphi = N\varphi_s$$

$$\bar{N}\varphi_x = N\varphi_{x_s} + f_1(\varphi)$$

$$N_x = N_{x_s} + \frac{x}{r} \frac{d}{d\varphi} f_1(\varphi) + f_2(\varphi)$$

$$u = u_s + \frac{x}{Et} \left[\frac{x^2}{2r^2} \frac{d}{d\varphi} f_1(\varphi) + \frac{x}{r} f_2(\varphi) \right] + f_3(\varphi)$$

$$v = v_s + \frac{x}{Et} \left[\frac{x^3}{6r^3} \frac{d^2}{d\varphi^2} f_1(\varphi) + \frac{2x}{r} f_1(\varphi) - \frac{x^2}{2r^2} \frac{d}{d\varphi} f_2(\varphi) \right] - \frac{x}{r} \frac{d}{d\varphi} f_3(\varphi) + f_4(\varphi)$$

$$w = w_s + \frac{x}{Et} \left[- \frac{x^3}{6r^3} \frac{d^3}{d\varphi^3} f_1(\varphi) - 2 \frac{x}{r} \frac{d}{d\varphi} f_1(\varphi) + \frac{x^2}{2r^2} \frac{d^2}{d\varphi^2} f_2(\varphi) \right] + \frac{x}{r} \frac{d^2}{d\varphi^2} f_3(\varphi) - \frac{d}{d\varphi} f_4(\varphi)$$

Si se pone la condición de empotramiento y la de simetría del sistema respecto al esfuerzo $N_{\varphi x}$, es decir, $u = v = w = 0$ para los extremos de la lámina $x = 0$ y $x = 1$ y $N_{\varphi x} = 0$ para $x = \frac{1}{2}$ se obtienen los valores siguientes para las funciones $f_1(\varphi)$, $f_2(\varphi)$, $f_3(\varphi)$ y $f_4(\varphi)$.

$$f_1(\varphi) = 0$$

$$f_2(\varphi) = 2 \frac{Et}{l} (u_s)_x = 0$$

$$f_3(\varphi) = - (u_s)_x = 0$$

$$f_4(\varphi) = 0$$

Sustituyendo estos valores en las expresiones anteriores y en las que dan los momentos reflectores y de torsión y esfuerzos cortantes normales a la lámina se tiene:

$$(III) \left\{ \begin{array}{l} N_\varphi = N_{\varphi s} \\ N_{\varphi x} = N_{\varphi x s} \\ N_x = N_{x s} + 2 \frac{Et}{l} (u_s)_x = 0 \\ u = u_s + (u_s)_x = 0 \cdot (2 \frac{x}{l} - 1) \\ v = v_s + \frac{x}{r} (1 - \frac{x}{l}) \frac{d}{d\varphi} (u_s)_x = 0 \\ w = w_s + \frac{x}{r} (\frac{x}{l} - 1) \frac{d^2}{d\varphi^2} (u_s)_x = 0 \end{array} \right.$$

$$\left. \begin{aligned}
 M_x &= \frac{Et^3}{12r^2} \frac{d^2w}{dx^2} \cdot r^2 = M_{x_B} + \frac{2r}{1} Et\beta \frac{d^2}{d\varphi^2} (u_s)_x = 0 \\
 M_\varphi &= \frac{Et^3}{12r^2} \left(\frac{d^2w}{d\varphi^2} - \frac{dw}{dx} \right) = M_{\varphi_B} - \frac{Et\beta x}{r} \left(1 - \frac{x}{1} \right) \left[\frac{d^4}{d\varphi^4} (u_s)_{x=0} + \right. \\
 &\quad \left. + \frac{d^2}{d\varphi^2} (u_s)_x = 0 \right] \\
 M_t &= \frac{Et^3}{12r^2} r \left(\frac{d^2w}{dxd\varphi} - \frac{dv}{dx} \right) = M_{t_B} - Et\beta \left(1 - \frac{2x}{1} \right) \left[\frac{d^3}{d\varphi^3} (u_s)_{x=0} + \right. \\
 &\quad \left. + \frac{d}{d\varphi} (u_s)_{x=0} \right] \\
 Q_\varphi &= \frac{1}{r} \left[\frac{dM_\varphi}{d\varphi} + r \frac{dM_t}{dx} \right] = Q_{\varphi_B} - \frac{Et\beta l}{r^2} \left(1 - \frac{x}{1} \right) \left[\frac{d^5}{d\varphi^5} (u_s)_{x=0} + \right. \\
 &\quad \left. + \frac{d^3}{d\varphi^3} (u_s)_x = 0 \right] + \frac{2Et\beta}{1} \left[\frac{d^3}{d\varphi^3} (u_s)_{x=0} + \frac{d}{d\varphi} (u_s)_{x=0} \right] \\
 Q_x &= \frac{1}{r} \left[r \frac{d}{dx} M_x + \frac{d}{d\varphi} M_t \right] = Q_{x_B} - \frac{Et\beta}{r} \left(1 - \frac{2x}{1} \right) \left[\frac{d^4}{d\varphi^4} (u_s)_{x=0} + \right. \\
 &\quad \left. + \frac{d^2}{d\varphi^2} (u_s)_x = 0 \right] \\
 R_\varphi &= Q_\varphi + \frac{d}{dx} M_t = R_{\varphi_B} + \frac{4r}{1} \frac{Et\beta}{r} \left[\frac{d^3}{d\varphi^3} (u_s)_{x=0} + \frac{d}{d\varphi} (u_s)_{x=0} \right] - \\
 &\quad - \frac{x}{r} \left(1 - \frac{x}{1} \right) \frac{Et\beta}{r} \left[\frac{d^5}{d\varphi^5} (u_s)_{x=0} + \frac{d^3}{d\varphi^3} (u_s)_{x=0} \right]
 \end{aligned} \right\} \text{(III)}$$

CALCULO NUMERICO.

Estado membrana

En el caso de acueducto lleno se tiene dando valores a las expresiones (I) y haciendo $n = 1$ para el primer término de la serie, y $n = 3$ para el segundo:

H_{φ_m} (1^{er} término)

$\frac{x}{l} \backslash \varphi$	0°	21°	42°	63°	84°	105°	126°
0	0	0	0	0	0	0	0
0,1	-138,62	297,78	779,8	1243,4	1627,0	1879,6	1967,7
0,2	-263,67	566,40	1483,2	2365,0	3094,6	3575,2	3742,8
0,3	-362,91	779,58	2041,5	3255,2	4259,4	4920,8	5151,5
0,4	-426,63	916,46	2399,9	3826,7	5007,3	5784,8	6056,0
0,5	-448,58	963,62	2523,4	4023,6	5264,9	6082,5	6367,6

\bar{N}_{φ_m} (2º término)

$x \diagdown \varphi$	0°	21°	42°	63°	84°	105°	126°
0	0	0	0	0	0	0	0
0,1	-120,97	259,86	680,50	1085,1	1419,8	1640,3	1717,2
0,2	-142,21	305,49	799,97	1275,6	1669,1	1928,3	2018,7
0,3	-46,20	99,260	259,93	414,4	542,3	626,5	655,9
0,4	87,89	-188,80	-494,41	-788,3	-1031,5	-1191,7	-1247,6
0,5	149,53	-321,21	-841,14	-1341,2	-1755,0	-2027,5	-2122,5

$\bar{N}_{\varphi_{K_m}}$ (1º término)

$x \diagdown \varphi$	0°	21°	42°	63°	84°	105°	126°
0	15.640	18.673	19.226	17.225	12.936	6.928	0
0,1	14.874	17.760	18.285	16.382	12.303	6.589	0
0,2	12.653	15.107	15.554	13.935	10.465	5.605	0
0,3	9.192	10.976	11.301	10.125	7.603	4.072	0
0,4	4.833	5.770	5.941	5.323	3.997	214	0
0,5	0	0	0	0	0	0	0

$\bar{N}_{\varphi X_m}$ (2º término)

$\frac{X}{L} \backslash \frac{\varphi}{L}$	0°	21°	42°	63°	84°	105°	126°
0	1.738	2.074	2.136	1.914	1.437	770	0
0,1	1.021	1.219	1.255	1.125	845	452	0
0,2	-537	-641	-660	-591	-444	-238	0
0,3	-1.653	-1.973	-2.032	-1.820	-1.367	-732	0
0,4	-1.406	-1.678	-1.728	-1.548	-1.163	-623	0
0,5	0	0	0	0	0	0	0

$\bar{N}_{\varphi X_m}$ (1º término)

$\frac{X}{L} \backslash \frac{\varphi}{L}$	0°	21°	42°	63°	84°	105°	126°
0	27.659	12.179	-4.918	-21.364	-34.970	-43.932	-47.057
0,1	14.233	6.267	-2.531	-10.994	-17.995	-22.607	-24.215
0,2	2.121	934	-377	-1.638	-2.682	-3.369	-3.609
0,3	-7.490	-3.298	1.332	5.785	9.470	11.897	12.743
0,4	-13.661	-6.015	2.429	10.552	17.272	21.699	23.242
0,5	-15.787	-6.952	2.807	12.194	19.961	25.070	26.860

N_{x_m} (2º término)

x/ℓ	0°	21°	42°	63°	84°	105°	126°
0	341	150	-61	-264	-432	-542	-581
0,1	-960	-423	171	742	1.214	1.525	1.634
0,2	-1.189	-523	211	918	1.503	1.888	2.023
0,3	-156	-68	28	120	197	247	265
0,4	1.287	567	-229	-994	-1.628	-2.045	-2.190
0,5	1.951	859	-347	-1.507	-2.466	-3.098	-3.319

Para el caso de acueducto vacío, se tiene análogamente mediante las expresiones (II)

N_{φ_m} (1º término)

x/ℓ	0°	21°	42°	63°	84°	105°	126°
0	0	0	0	0	0	0	0
0,1	-138,62	-61,04	24,65	107,07	175,26	220,17	235,84
0,2	-263,67	-116,10	46,89	203,65	333,36	418,79	448,58
0,3	-362,91	-159,80	64,54	280,31	458,83	576,41	617,42
0,4	-426,63	-187,86	75,87	329,52	539,39	677,62	725,82
0,5	-448,58	-197,53	79,77	346,48	567,15	712,49	763,18

$\Sigma \varphi_m$ (2^o término)

$x \backslash \psi$	0°	21°	42°	63°	84°	105°	126°
0	0	0	0	0	0	0	0
0,1	-120,97	-53,26	21,51	93,43	152,94	192,14	205,81
0,2	-142,21	-62,62	25,29	109,84	179,79	225,87	241,94
0,3	-46,20	-20,34	8,21	35,69	58,42	73,39	78,61
0,4	87,89	38,70	-15,63	-67,88	-111,12	-139,60	-149,52
0,5	149,52	65,84	-26,59	-115,49	-189,05	-237,50	-254,39

$\Sigma \varphi_m$ (10^o término)

$x \backslash \psi$	0°	21°	42°	63°	84°	105°	126°
0	4.721,5	5.637,3	5.804,1	5.200,0	3.905,1	2.091,5	0
0,1	4.490,4	5.361,4	5.520,0	4.945,5	3.714,0	1.989,1	0
0,2	3.820,7	4.560,7	4.695,6	4.206,9	3.159,3	1.692,1	0
0,3	2.775,2	3.313,5	3.411,6	3.056,5	2.295,4	1.229,4	0
0,4	1.459,6	1.742,0	1.793,6	1.606,9	1.206,8	646,3	0
0,5	0	0	0	0	0	0	0

$N_{\varphi \mathbf{x}_m}$ (2º término)

$\frac{x}{l} \backslash \frac{\psi}{l}$	0°	21°	42°	63°	84°	105°	126°
0	524,61	626,37	644,90	577,78	433,90	232,39	0
0,1	308,36	368,17	379,06	339,61	255,04	136,60	0
0,2	-162,11	-193,56	-199,29	-178,55	-134,08	-71,81	0
0,3	-498,94	-595,72	-613,34	-549,50	-412,66	-221,02	0
0,4	-424,42	-506,74	-521,73	-467,43	-351,03	-188,01	0
0,5	0	0	0	0	0	0	0

$N_{\mathbf{x}_m}$ (1º término)

$\frac{x}{l} \backslash \frac{\psi}{l}$	0°	21°	42°	63°	84°	105°	126°
0	8.350	3.676	-1.485	-6.450	-10.557	-13.262	-14.206
0,1	4.296	1.892	-764	-3.319	-5.433	-6.825	-7.310
0,2	640	282	-114	-495	-810	-1.017	-1.090
0,3	-2.261	-996	402	1.747	2.859	3.591	3.847
0,4	-4.124	-1.816	733	3.186	5.214	6.550	7.017
0,5	-4.766	-2.099	847	3.681	6.026	7.570	8.109

N_{x_m} (2º término)

$\frac{x}{l} \backslash \frac{\varphi}{l}$	0°	21°	42°	63°	84°	105°	126°
0	103,0	45,3	-18,3	-79,6	-130,3	-163,7	-175,3
0,1	-289,9	-127,6	51,5	223,9	366,5	460,4	493,2
0,2	-358,9	-158,0	63,8	277,2	453,7	570,0	610,6
0,3	-47,0	-20,7	8,3	36,3	59,4	74,6	80,0
0,4	388,6	171,1	-69,1	-300,1	-491,3	-617,2	-661,1
0,5	588,8	259,3	-104,7	-454,8	-744,5	-935,5	-1.001,9

Resolución de la ecuación característica.

La ecuación característica de las láminas cilíndricas es una ecuación de octavo grado que, en este caso, tiene la forma:

$$\begin{aligned}
 m^8 + (2 - 4\alpha^2) m^6 + (1 + 6\alpha^4 - 7\alpha^2 + \beta\alpha^4) m^4 + \\
 + (-3\alpha^2 + 6\alpha^4 - 4\alpha^6 - 3\beta\alpha^6) m^2 + \\
 + \alpha^4(1 + 2\beta)(\frac{1}{\beta} + \alpha^4) = 0
 \end{aligned}$$

Siendo:

$$\alpha = \frac{B^2 E}{I} \quad y \quad \beta = \frac{\frac{t^2}{4}}{12E}$$

Reduciendo la ecuación anterior a una de cuarto grado y ésta a una de tercero y resolviendo esta última por el método trigonométrico, se pueden obtener las ocho raíces de la primera ecuación citada que serán de la forma:

$$m_{1234} = \pm \rho (a \pm bi) \quad m_{5678} = \pm \rho (c \pm di)$$

En el cuadro siguiente se ha sistematizado la resolución de la ecuación característica hasta llegar a los valores de ρ , a, b, c y d.

Número	Expresión	Cálculo	Cantidad numérica	
			1 ^{er} término	2 ^d término
1	r		1,665	1,665
2	1		20	20
3	$\alpha = \frac{BICP}{I}$	$n + 1^p \frac{(1)}{(z)}$	0,28153758	0,78461274
4	t		0,15	0,15
5	$\beta = \frac{t^2}{12 r^2}$	$\frac{1}{4} \frac{(4)^2}{(1)^2}$	0,00067035203	0,00067035203
6	$\frac{\sqrt{3} \sqrt{\beta}}{z \alpha^2}$	$\frac{\sqrt{3} \sqrt{(5)}}{z \cdot (3)^2}$	0,32026748	0,33035574
7	$\frac{1}{z} + \alpha^2$	$\frac{1}{z} + (3)^2$	0,59840191	1,11501715
8	$\frac{2+12\alpha^4+51\alpha^4+106\alpha^6+103\alpha^8}{72\alpha^4} \cdot \beta$		0,006215371	0,0017092507
9	$\left[1 + \frac{(144\alpha^2+13\alpha^4+12\alpha^6)\beta}{12\alpha^4} \right]^2$		1,0325925	1,00333077
10	sen 3Δ	$\frac{(6) \cdot \sqrt[3]{(7)+(8)}}{\sqrt[3]{(9)}}$	0,18718923	0,040632401
11	sen Δ		0,06272745	0,013614164
12	cos Δ		0,9990357	0,9999974
13	q	$\sqrt[4]{(9)}$	1,0000284	1,0000317
14	$(\cos \Delta + \frac{\sin \Delta}{\sqrt{3}}) \cdot q$	$\left[(12) + \frac{(11)}{\sqrt{3}} \right] (13)$	1,0425493	1,0086056

Número	Expresión	Cálculo	Cantidad numérica	
			1º término	2º término
15	$(\cos \Delta + \frac{\sin \Delta}{\sqrt{3}}) \cdot q$	$\left[(14) + \frac{(11)}{\sqrt{3}} \right] \cdot (1)$	0,9995932	0,0193745
16	$\frac{\sqrt{3}}{3\alpha^2} \left(\frac{1}{\epsilon} + \alpha^2 - \beta\alpha^4 \right)$		0,07433071	0,01536133
17	$\frac{\sqrt{2}\sqrt[4]{\beta}}{\alpha} \left(\frac{1}{\epsilon} - \alpha^2 \right)$	$\frac{\sqrt{2}}{(1)} \sqrt[4]{(1)} \cdot \left[\frac{1}{\epsilon} - (1)^2 \right]$	0,393813	-0,00380039
18	$\frac{z + \sin \Delta}{\sqrt{3}} + q$	$\frac{z}{\sqrt{3}} \cdot (1) + (1)$	0,073120	0,0193330
19	g_1	$\sqrt{(14) + (15) - (17)}$	0,979707	1,0453005
20	b_1	$\sqrt{(15)-(16)} + \sqrt{(16)-(17)}$	0,9868194	0,9937342
21	g_2	$-\sqrt{(14)+(16) - (17)}$	-1,4320003	-0,9947026
22	b_2	$\sqrt{(15)-(16)} - \sqrt{(16)-(17)}$	0,9161108	0,99330152
23	$\sqrt{g_1^2 + b_1^2}$	$\sqrt{(17)^2 + (20)^2}$	1,191328	1,445573
24	$\sqrt{g_2^2 + b_2^2}$	$\sqrt{(21)^2 + (22)^2}$	1,733346	1,397196
25	a	$\frac{1}{\sqrt{2}} \sqrt{(17)+(19)}$	0,9371353	1,115028
26	b	$\frac{1}{\sqrt{2}} \sqrt{(17)-(19)}$	0,3793003	0,44546018
27	c	$\frac{1}{\sqrt{2}} \sqrt{(21)+(21)}$	0,330295	0,4529301
28	d	$\frac{1}{\sqrt{2}} \sqrt{(20)-(21)}$	1,251420	1,087515
29	p	$\sqrt{\frac{(1)}{\sqrt{2}} \sqrt{(15)}}$	1,070873	1,054804

Estado homogéneo

A continuación se determinan los coeficientes de los esfuerzos y recorridos del estado homogéneo para el caso de lámina apoyada en los dos extremos. Una vez conocidos estos coeficientes se tendrán las expresiones de estos esfuerzos y recorridos que sustituídas en las ecuaciones - (III) nos darán los esfuerzos y recorridos en el caso de lámina empotrada y se tendrá preparado el camino para plantear las ecuaciones a que dan lugar las condiciones en los bordes longitudinales.

Los coeficientes buscados se determinan en el cuadro siguiente:

Número	Expresión	Cálculo	Cantidad numérica	
			1 ^{er} término	2 ^d término
30	$\lambda = \frac{a^2}{b^2}$	$\frac{(3)^2}{(2)^2}$	0,090647937	0,17894250
31	$a^2 - b^2 - \lambda$	$(25)^2 - (26)^2 - (30)$	0,019731863	0,00074703
32	$a^2 - b^2 - 2\lambda$	$(31) - (30)$	0,00008436	0,00780453
33	$c^2 - d^2 - \lambda$	$(27)^2 - (28)^2 - (30)$	-1,40174711	-1,15741883
34	$c^2 - d^2 - 2\lambda$	$(33) - (30)$	-1,55130402	-1,33036133
35	$a^2 + b^2 - 2\lambda$	$(25)^2 + (26)^2 - 2(30)$	1,07202877	1,08407229
36	$a^2 + b^2 - 2\lambda$	$-(25)^2 - (26)^2 - 2(30)$	-1,31031881	-1,00044230
37	$c^2 + d^2 - 2\lambda$	$(27)^2 + (28)^2 - 2(30)$	1,59075458	1,04930557
38	$c^2 + d^2 - 2\lambda$	$-(27)^2 - (28)^2 - 2(30)$	-1,81034402	-1,74507557
39	$a^2 - 3b^2 - 2\lambda$	$(25)^2 - 3(26)^2 - 2(30)$	0,04013093	0,00093077
40	$a^2 - b^2 - 2\lambda$	$3(25)^2 - (26)^2 - 2(30)$	2,43078751	3,17005133
41	$c^2 - 3d^2 - 2\lambda$	$(27)^2 - 3(28)^2 - 2(30)$	-1,68354382	-3,70202803
42	$3c^2 - d^2 - 2\lambda$	$3(27)^2 - (28)^2 - 2(30)$	-1,28344482	-0,92764689
43	$(a^2 - b^2 - \lambda)^2 - 4a^2b^2$	$(31)^2 - 4(25)^2(26)^2$	-0,57302843	-0,23825403
44	$1: [(a^2 - b^2 - \lambda)^2 + 4a^2b^2]$	$1: [(31)^2 + 4(25)^2(26)^2]$	0,70054030	0,00409959
45	$(c^2 - d^2 - \lambda)^2 - 4c^2d^2$	$(33)^2 - 4(27)^2(28)^2$	1,3603530	0,37273634
46	$1: [(c^2 - d^2 - 2\lambda)^2 + 4c^2d^2]$	$1: [(34)^2 + 4(27)^2(28)^2]$	0,30006340	0,30327390
47		$1 + \frac{(30)^2 + (43)}{4}$	0,99943978	0,99810376
48		$1 - \frac{(30)^2 + (39)}{4 \cdot (3)^2}$	0,99996266	0,99923393
49		$(30)^2 + (26)^2 + (31)$	0,0105043926	0,0053072555
50		$(30)^2 + (25)^2 + (31)$	0,0020023548	0,034526906

Número	Expresión	Cálculo	Cantidad numérica	
			1º término	2º término
51		$1 - \frac{(33)^3 + (40)}{4(3)^2}$	0,99611463	0,99600978
52		$1 + \frac{(33)^2 - (45)}{4}$	1,00123283	1,00298379
53		$1 - \frac{(33)^3 - (41)}{4 \cdot (3)^2}$	1,00303265	1,00301409
54		$(33)^2 + (28)^2 + (33)$	-0,008311746	-0,043837030
55		$(33)^2 + (28)^2 + (33)$	-0,0007110556	-0,007573698
56		$1 - \frac{(33)^3 - (42)}{4 \cdot (3)^2}$	1,00099546	1,002158501
57	v_s	$\frac{(47)(48) + (49) + (51)}{(25)^2(46)^2 + (26)^2(51)^2} \quad (25)$	0,91253418	0,77793666
58		$\frac{(47)(51) - (50)(48)}{(25)^2(48)^2 + (26)^2(51)^2} \quad (26)$	0,42315923	0,29342706
59		$\frac{(52)(53) + (54)(56)}{(27)^2(53)^2 + (28)^2(56)^2} \quad (27)$	0,41404480	0,31339555
60		$\frac{(52)(56) - (55)(53)}{(27)^2(53)^2 + (28)^2(56)^2} \quad (28)$	0,73650580	0,78912367
61	u_s y u_{k_s}	$[(25)(35)(57) + (26)(36)(58)] \cdot (44)$	0,44191016	0,48172955
62		$[(25)(35)(59) - (26)(36)(57)] \cdot (44)$	0,76335478	0,67259058
63		$[(27)(37)(59) + (28)(38)(60)] \cdot (46)$	-0,47642753	0,49109974
64		$[(27)(37)(60) - (28)(38)(59)] \cdot (46)$	-0,28146709	0,34946480
65	u_{q_s}	$(43) + \frac{(30)}{(3)^2} [(25)(39)(57) + (26)(40)(58)]$	-0,03603313	-0,041053302
66		$-4(25)(26)(31) + \frac{(30)}{(3)^2} [(25)(30)(58) - (26)(40)(57)]$	-2,06710883	-2,0146093
67		$(45) + \frac{(30)}{(3)^2} [(27)(41)(59) + (28)(42)(60)]$	0,03454131	-0,01113157
68		$-4(27)(28)(23) + \frac{(30)}{(3)^2} [(27)(41)(60) - (28)(42)(59)]$	1,0319997	1,0042211

Número	Expresión	Género	Cantidades numéricas	
			1 ^a tómico	2 ^a tómico
69	η_{φ_2}	$\begin{aligned} & [(34)(57) + 2(25)(26)(57)] \cdot (44) \\ & [(34)(56) + 2(25)(26)(57)] \cdot (44) \\ & [(34)(59) + 2(27)(25)(59)] \cdot (45) \\ & [(34)(58) + 2(27)(25)(58)] \cdot (45) \end{aligned}$	0,03228833	0,1007670
70			0,01184112	0,03376150
71			-0,3017467	-0,4302542
72			-0,2019034	-0,4711437
73	η_{φ_3}	$\begin{aligned} & (25)^2 \cdot (26)^2 + \frac{(25)}{(3)^2} [(25)(57) + (25)(56)] \\ & -2(27)(25) + \frac{(25)}{(3)^2} [(27)(57) - (27)(56)] \\ & (27)^2 \cdot (26)^2 + \frac{(25)}{(3)^2} [(27)(57) + (27)(56)] \\ & -2(27)(25) + \frac{(25)}{(3)^2} [(27)(57) - (27)(56)] \end{aligned}$	1,551325	1,330257
74			-0,002225	-0,0044354
75			-0,0003247	-0,0006324
76			-0,0149125	-0,0730342
77	η_{ψ_3}	$\begin{aligned} & (31) + \frac{(25)}{(3)^2} [(25)(57) + (25)(56)] \\ & (24) \\ & (33) + \frac{(25)}{(3)^2} [(25)(57) + (25)(56)] \\ & (26) \end{aligned}$	1,0118027	1,157332
78			-0,002225	-0,0044054
79			-0,0003247	-0,0006323
80			-0,0149125	-0,0730342
81	η_{φ_5}	$\begin{aligned} & -(25) [(35) \cdot (33)] - \frac{(25)}{(3)^2} [(25)(25)(33) + (31)(57)] \\ & (25) [(45) + (37)] - \frac{(25)}{(3)^2} [(31)(25) - 2(25)(25)(57)] \\ & -(27) [(45) + (37)] - \frac{(25)}{(3)^2} [(27)(25)(25) + (31)(59)] \\ & (25) [(45) + (37)] - \frac{(25)}{(3)^2} [(33)(25) - 2(27)(25)(59)] \end{aligned}$	-0,007705	-0,0003072
82			1,004535	1,0047753
83			1,0433250	1,0534250
84			-0,0700017	-0,0531252
85	η_{t_3}	$\begin{aligned} & -(25) - \frac{(25)}{(3)^2} (57) \\ & (25) - \frac{(25)}{(3)^2} (59) \\ & -(27) - \frac{(25)}{(3)^2} (59) \\ & (25) - \frac{(25)}{(3)^2} (59) \end{aligned}$	-1,0700742	-1,3415274
86			0,13023540	0,1325425
87			-0,7520702	-0,54315491
88			0,3019400	0,3504950

Número	Expresión	Cálculo	Cantidad numérica	
			por término	en términos
89	$\partial \phi_3$	$-(25)(23) + \frac{(23)}{(3)^2} [-(23)(27) - 2(25)(23)(23)]$	-0,0043317	-0,0000341
90		$(23)(21) + \frac{(23)}{(3)^2} [-(23)(23) + 2(25)(23)(23)]$	1,7105817	1,5302533
91		$-(27)(41) + \frac{(23)}{(3)^2} [-(23)(23) - 2(27)(23)(23)]$	1,4556936	1,5372577
92		$(23)(41) + \frac{(23)}{(3)^2} [-(23)(23) + 2(27)(23)(23)]$	-0,4337233	-0,0123754
93		$(21) \cdot \frac{(23)}{(3)}$	0,1078413	0,1000003
94		$(21) \cdot \frac{(23)}{(3)}$	0,3753453	0,1000003
95		$(21) \cdot \frac{(23)}{(3)}$	-0,1001144	-0,1120103
96		$(21) \cdot \frac{(23)}{(3)}$	0,004178174	0,0773305
97	$\frac{d}{d\varphi} (u_2)$	$-(23) [(25)(23) + (27)(23)]$	-0,3933297	-0,3940297
98		$(23) [(25)(23) - (27)(23)]$	-0,1203376	-0,2200003
99		$-(23) [(27)(23) + (25)(23)]$	-0,3433333	-0,00000515
100		$(23) [(25)(23) - (27)(23)]$	-0,1713310	-0,4320314
101		$(25)^2 - (23)^2$	0,0737037	1,0460005
102		$z \cdot (25)(23)$	0,0700104	0,0073283
103		$(27)^2 - (23)^2$	-1,4240003	-0,3707026
104		$z \cdot (27)(23)$	0,0101103	0,0030103
105	$\frac{d^2}{d\varphi^2} (u_2)$	$(23)^2 [(23)(23) + (24)(232)]$	0,2753514	0,0100204
106		$(23)^2 [(24)(23) - (23)(232)]$	0,0435752	0,1701000
107		$(23)^2 [(23)(23) + (25)(234)]$	0,2455107	0,0000243
108		$(23)^2 [(25)(23) - (25)(234)]$	0,0002336	0,1100002
109		$(23) [(25)^2 - 3(23)^2]$	0,1010323	0,7433754
110		$(23) [3(25)^2 - (23)^2]$	1,2001011	1,5762437
111		$(23) [(23)^2 - 3(23)^2]$	-1,0703393	-1,5174639

Número	Expresión	Cálculo	Contenido numérico	
			1º término	2º término
112		$(\varphi) [3 \cdot (27)^2 - (28)^2]$	-1,458897	-0,0199352
113		$(\varphi)^3 [-(23)(129) + (24)(110)]$	-0,293547	-2,048598
114		$(\varphi)^3 [(24)(109) + (23)(111)]$	0,1261243	0,353136
115	$\left\{ \frac{d}{d\varphi^3} (u_3) \right\}$	$(\varphi)^3 [-(25)(111) - (26)(112)]$	-0,1093401	-0,7555943
116		$(\varphi)^3 [-(25)(111) + (26)(112)]$	0,3493124	1,2171138
117		$(101)^2 - (102)^2$	-0,461398	0,1793198
118		$2 \cdot (101)(102)$	1,367674	2,3762720
119		$(103)^2 - (104)^2$	1,2110494	-0,03947445
120		$2 \cdot (103)(104)$	-2,6392434	-1,9427454
121	$\left\{ \frac{d}{d\varphi^4} (u_3) \right\}$	$(\varphi)^4 [-(23)(117) + (24)(118)]$	0,2403917	3,3137252
122		$(\varphi)^4 [-(24)(117) - (23)(118)]$	-0,280493	-2,5103883
123		$(\varphi)^4 [-(23)(116) + (25)(120)]$	-0,3053246	-1,826486
124		$(\varphi)^4 [-(23)(116) - (25)(120)]$	-0,2142477	-2,557843
125		$-(25)(117) + (26)(118)$	1,1929271	0,8079567
126		$-(25)(117) - (26)(118)$	-1,0349247	-2,3031104
127		$-(27)(119) + (28)(120)$	-3,7271532	-2,3865439
128		$-(28)(119) + (27)(120)$	-0,3553947	-0,301897
129	$\left\{ \frac{d}{d\varphi^5} (u_3) \right\}$	$(\varphi)^5 [-(23)(125) + (24)(126)]$	-0,09100255	-0,0107910
130		$(\varphi)^5 [-(24)(125) - (23)(126)]$	0,43151842	0,4242116
131		$(\varphi)^5 [-(25)(127) + (26)(128)]$	0,5226747	3,5051775
132		$(\varphi)^5 [-(25)(127) - (26)(128)]$	-0,42223438	-5,5103774

Otros valores necesarios para establecer las expresiones de los esfuerzos y recorridos son las funciones trigonométrico-exponenciales, ϕ_1 , ϕ_2 , ϕ_3 , ..., ϕ_8 , dependientes del ángulo φ y que se incluyen en los dos cuadros siguientes para los dos primeros términos de la serie de Fourier y para valores de φ de 0° , 21° , 42° , 63° , 84° , 105° y 126° .

四
卷之四

Funcióñ	θ_0	210	420	630	840	1050	1260
$\varphi_1 = e^{i\beta\varphi} \cos\varphi + e^{-i\beta\varphi} \sin\varphi$	0,302200	0,301640	0,402000	0,207000	0,106000	0,006000	0,000000
$\varphi_2 = e^{i\beta\varphi} \sin\varphi + e^{-i\beta\varphi} \cos\varphi$	0,002370	0,147535	0,011591	0,117355	0,106233	0,106233	0,106233
$\varphi_3 = e^{i\beta\varphi} \cos\varphi + e^{-i\beta\varphi} \cos\varphi$	1,170311	0,000493	0,493335	-0,078541	-0,493335	-0,722000	-0,302741
$\varphi_4 = e^{i\beta\varphi} \sin\varphi + e^{-i\beta\varphi} \sin\varphi$	-0,000493	0,240016	0,730104	0,300000	0,207177	0,103000	0,000000
$\varphi_5 = e^{i\beta\varphi} \cos\varphi + e^{-i\beta\varphi} \sin\varphi$	1,077227	0,077530	0,440000	0,210000	0,154771	0,100000	0
$\varphi_6 = e^{i\beta\varphi} \sin\varphi + e^{-i\beta\varphi} \cos\varphi$	-0,077227	0,122470	0,194443	0,147000	0,118227	0,103000	0
$\varphi_7 = e^{i\beta\varphi} \cos\varphi + e^{-i\beta\varphi} \cos\varphi$	0,000000	0,000001	0,700002	0,100000	0,007452	-0,002000	0
$\varphi_8 = e^{i\beta\varphi} \sin\varphi + e^{-i\beta\varphi} \sin\varphi$	0,000000	0,000000	0,057220	0,057220	0,000000	0,714000	0,000000

Función	Valores de φ						120°
	0°	20°	40°	60°	80°	100°	
$\varphi_1 = e^{-i\beta\varphi} \cos \rho b \varphi + e^{+i\beta\varphi} \cos \rho b \omega$	0,400000	0,170021	0,000007	0,015077	-0,001371	-0,000123	
$\varphi_2 = e^{-i\beta\varphi} \sin \rho b \varphi + e^{+i\beta\varphi} \sin \rho b \omega$	-0,300000	0,125025	0,000001	0,040015	0,000003	0,020004	
$\varphi_3 = e^{-i\beta\varphi} \cos \rho d \varphi + e^{+i\beta\varphi} \cos \rho d \omega$	0,300000	-0,170025	-0,000005	-0,015077	-0,001371	-0,000123	
$\varphi_4 = e^{-i\beta\varphi} \sin \rho d \varphi + e^{+i\beta\varphi} \sin \rho d \omega$	0,500000	0,300005	0,000005	0,020002	0,000002	-0,010004	
$\varphi_5 = e^{-i\beta\varphi} \cos \rho b \varphi + e^{+i\beta\varphi} \cos \rho b \omega$	0,011327	0,500000	0,300005	0,000003	0,000001	-0,010004	
$\varphi_6 = e^{-i\beta\varphi} \sin \rho b \varphi + e^{+i\beta\varphi} \sin \rho b \omega$	-0,400000	0,473014	0,100000	0,000017	0,000005	0,000003	0
$\varphi_7 = e^{-i\beta\varphi} \cos \rho d \varphi + e^{+i\beta\varphi} \cos \rho d \omega$	0,011327	0,130025	0,12000745	0,000005	0,000003	-0,007310	0
$\varphi_8 = e^{-i\beta\varphi} \sin \rho d \varphi + e^{+i\beta\varphi} \sin \rho d \omega$	-0,400000	0,473005	0,100005	0,000017	0,000005	0,000003	0

Partiendo de los valores hallados anteriormente las expresiones de los esfuerzos y recorridos del estado homogéneo serán:

$$N_{X_B} = - \frac{Et\lambda}{r} \left\{ [(61)B_1 + (62)B_2]\phi_1 + [(61)B_2 - (62)B_1]\phi_2 + \right. \\ \left. + [(63)B_3 + (64)B_4]\phi_3 + [(63)B_4 - (64)B_3]\phi_4 \right\} \sin \frac{\pi x}{l}$$

$$N_{\varphi_B} = - \frac{Et\lambda^2}{4r} \left\{ [(65)B_1 + (66)B_2]\phi_1 + [(65)B_2 - (66)B_1]\phi_2 + \right. \\ \left. + [(67)B_3 + (68)B_4]\phi_3 + [(67)B_4 - (68)B_3]\phi_4 \right\} \sin \frac{\pi x}{l}$$

$$N_{\varphi_X_B} = - \frac{Et\lambda\sqrt{\lambda}}{r} \left\{ [(69)B_1 + (70)B_2]\phi_5 + [(69)B_2 - (70)B_1]\phi_6 + \right. \\ \left. + [(71)B_3 + (72)B_4]\phi_7 + [(71)B_4 - (72)B_3]\phi_8 \right\} \cos \frac{\pi x}{l}$$

$$M_{\varphi_B} = \frac{Et\lambda^3}{4\alpha^2} \left\{ [(73)B_1 + (74)B_2]\phi_1 + [(73)B_2 - (74)B_1]\phi_2 + \right. \\ \left. + [(75)B_3 + (76)B_4]\phi_3 + [(75)B_4 - (76)B_3]\phi_4 \right\} \sin \frac{\pi x}{l}$$

$$M_{t_s} = \frac{Et\lambda^3\sqrt{\lambda}}{4\alpha^2} \left\{ [(85)B_1 + (86)B_2]\phi_5 + [(85)B_2 - (86)B_1]\phi_6 + \right. \\ \left. + [(87)B_3 + (88)B_4]\phi_7 + [(87)B_4 - (88)B_3]\phi_8 \right\} \cos \frac{n\pi x}{l}$$

$$M_{x_s} = - Et \frac{\lambda^4}{4\alpha^2} \left[B_1 \phi_1 + B_2 \phi_2 + B_3 \phi_3 + B_4 \phi_4 \right] \sin \frac{n\pi x}{l}$$

$$Q_{x_s} = \frac{Et\lambda^3}{4\pi\alpha} \left\{ [(77)B_1 + (78)B_2]\phi_1 + [(77)B_2 - (78)B_1]\phi_2 + \right. \\ \left. + [(79)B_3 + (80)B_4]\phi_3 + [(79)B_4 - (80)B_3]\phi_4 \right\} \cos \frac{n\pi x}{l}$$

$$Q_{\varphi_s} = \frac{Et\lambda^2\sqrt{\lambda}}{4\alpha\pi} \left\{ [(81)B_1 + (82)B_2]\phi_5 + [(81)B_2 - (82)B_1]\phi_6 + \right. \\ \left. + [(83)B_3 + (84)B_4]\phi_7 + [(83)B_4 - (84)B_3]\phi_8 \right\} \sin \frac{n\pi x}{l}$$

$$R_{\varphi_s} = \frac{Et\lambda^2\sqrt{\lambda}}{4\alpha^2} \left\{ [(89)B_1 + (90)B_2]\phi_5 + [(89)B_2 - (90)B_1]\phi_6 + \right. \\ \left. + [(91)B_3 + (92)B_4]\phi_7 + [(91)B_4 - (92)B_3]\phi_8 \right\} \sin \frac{n\pi x}{l}$$

$$w_s = \left[B_1 \phi_1 + B_2 \phi_2 + B_3 \phi_3 + B_4 \phi_4 \right] \sin \frac{n\pi x}{l}$$

$$v_s = \frac{\sqrt{\lambda}}{\alpha} \left\{ [(57)B_1 + (58)B_2]\phi_5 + [(57)B_2 - (58)B_1]\phi_6 + \right. \\ \left. + [(59)B_3 + (60)B_4]\phi_7 + [(59)B_4 - (60)B_3]\phi_8 \right\} \sin \frac{n\pi x}{l}$$

$$u_s = \frac{\lambda}{\alpha} \left\{ [(61)_{B_1} + (62)_{B_2}] \phi_1 + [(61)_{B_2} - (62)_{B_1}] \phi_2 + \right. \\ \left. + [(63)_{B_3} + (64)_{B_4}] \phi_3 + [(63)_{B_4} - (64)_{B_3}] \phi_4 \right\} \cos \frac{n\pi x}{l}$$

$$\frac{d}{d\varphi} (u_s)_{x=0} = [(97)_{B_1} + (98)_{B_2}] \phi_5 + [(97)_{B_2} - (98)_{B_1}] \phi_6 + \\ + [(99)_{B_3} + (100)_{B_4}] \phi_7 + [(99)_{B_4} - (100)_{B_3}] \phi_8$$

$$\frac{d^2}{d\varphi^2} (u_s)_{x=0} = [(105)_{B_1} + (106)_{B_2}] \phi_1 + [(105)_{B_2} - (106)_{B_1}] \phi_2 + \\ + [(107)_{B_3} + (108)_{B_4}] \phi_3 + [(107)_{B_4} - (108)_{B_3}] \phi_4$$

$$\frac{d^3}{d\varphi^3} (u_s)_{x=0} = [(113)_{B_1} + (114)_{B_2}] \phi_5 + [(113)_{B_2} - (114)_{B_1}] \phi_6 + \\ + [(115)_{B_3} + (116)_{B_4}] \phi_7 + [(115)_{B_4} - (116)_{B_3}] \phi_8$$

$$\frac{d^4}{d\varphi^4} (u_s)_{x=0} = [(121)_{B_1} + (122)_{B_2}] \phi_1 + [(121)_{B_2} - (122)_{B_1}] \phi_2 + \\ + [(123)_{B_3} + (124)_{B_4}] \phi_3 + [(123)_{B_4} - (124)_{B_3}] \phi_4$$

$$\frac{d^5}{d\varphi^5} (u_s)_{x=0} = [(129)_{B_1} + (130)_{B_2}] \phi_5 + [(129)_{B_2} - (130)_{B_1}] \phi_6 + \\ + [(131)_{B_3} + (132)_{B_4}] \phi_7 + [(131)_{B_4} - (132)_{B_3}] \phi_8$$

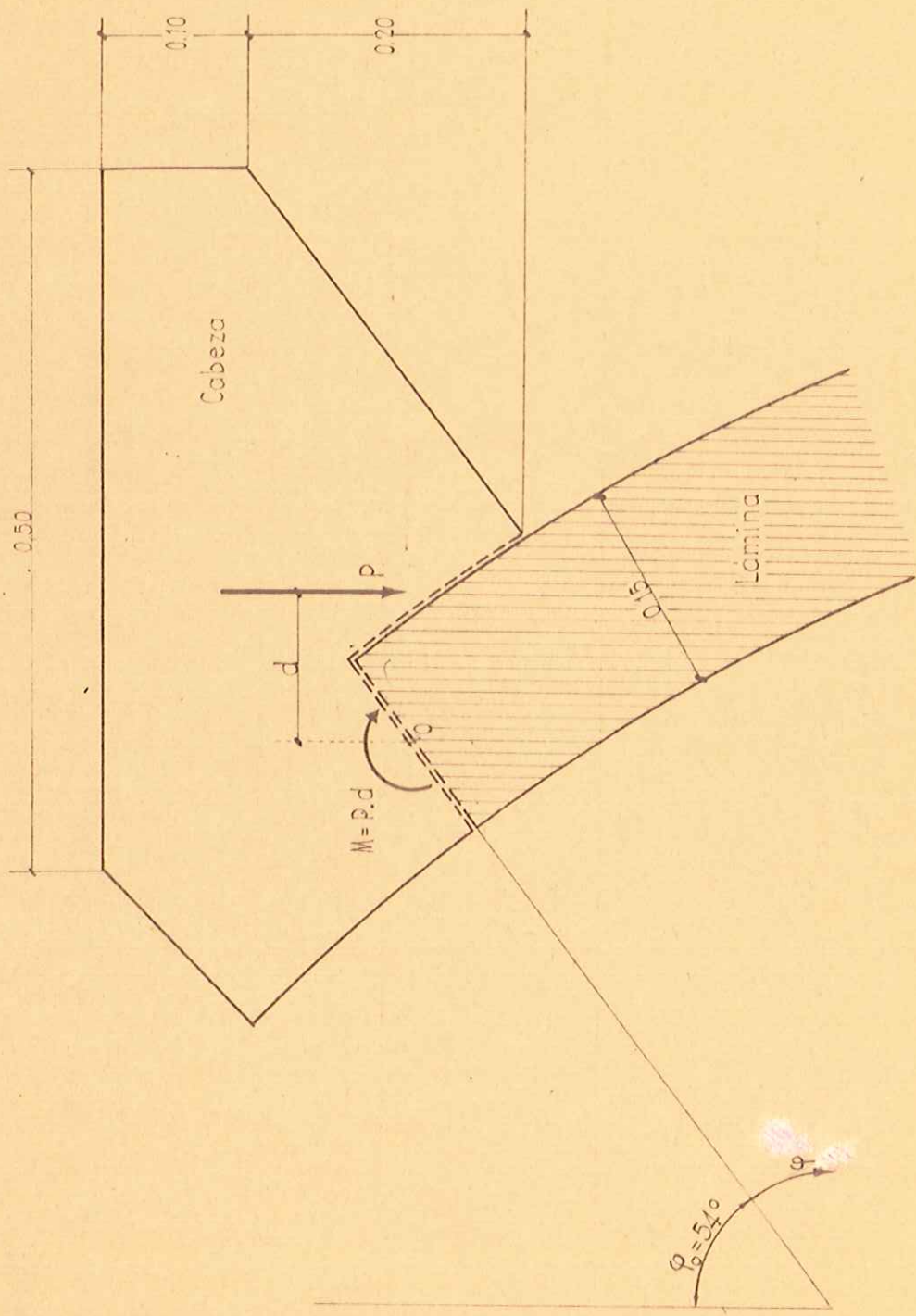


Fig. 2

En las expresiones anteriores B_1 , B_2 , B_3 y B_4 son las constantes de integración que se determinarán con las condiciones de sustentación y esfuerzos en los bordes longitudinales $\varphi = \text{const.}$ En realidad las constantes deberían ser ocho, pero en este caso se han reducido a cuatro, ya que la lámina en estudio tiene simetría de forma y de cargas - respecto al plano vertical $\varphi = 126^\circ$.

Tanto en los cuadros de las páginas anteriores como en las expresiones IV, los números encerrados entre paréntesis indican los valores numéricos de las expresiones que tienen este número de orden en los cuadros citados.

Planteamiento de las ecuaciones de borde.

En el borde longitudinal $\varphi = 0$, la lámina termina en un ensanchamiento de la forma que se indica en la fig. 2. Esta cabeza considerada como viga independiente no coarta, al unirse a la lámina, ni el corrimiento vertical ni el horizontal, pues su esbeltez según estas dos direcciones es muy grande, por lo cual

se puede considerar con suficiente aproximación que los corrimientos vertical y horizontal que tome la cuba en los bordes $\varphi = 0$ serán los que correspondan al estado lámina. No se puede decir lo mismo en lo que respecta al corrimiento longitudinal u , ya que éste sí viene influido en una proporción muy importante por la cabeza citada.

De lo anterior se desprende que en la unión de la lámina con la cabeza los esfuerzos cortantes que actúan en el plano de unión deben ser los mismos, así como el corrimiento longitudinal.

Sea Ω_v el área en m^2 de la sección transversal de la cabeza, S_v el esfuerzo cortante en la lámina en su unión con la cabeza, $-S_v$ será el esfuerzo cortante en la cabeza en su unión con la lámina.

Para conseguir igualdad de corrimientos en la viga y en la lámina, la ley de esfuerzos cortantes en la cabeza debe ser de la forma:

$$-S_v \cdot \cos \frac{\pi x}{l}$$

Si se supone como ya se ha indicado anteriormente, que los efectos de la flexión en la cabeza son despreciables al tener poca rigidez para esta solicitación, el esfuerzo normal en una sección \underline{x} de la cabeza será:

$$T = \int -S_v \cos \frac{n_v x}{l} dx = k_1 - S_v \cdot \frac{1}{n_v^2} \sin \frac{n_v x}{l}$$

$$\frac{\partial u_v}{\partial x} = \varepsilon_v = \frac{T}{E \Omega_v} - \frac{1}{E} = \frac{k_1}{E \Omega_v} - \frac{S_v}{E \Omega_v} \cdot \frac{1}{n_v^2} \sin \frac{n_v x}{l} .$$

integrando esta expresión se tiene:

$$u_v = \frac{k_1}{E \Omega_v} + \frac{S_v}{E \Omega_v} \cdot \frac{1^2}{n_v^2} \cos \frac{n_v x}{l} + k_2$$

Las constantes de integración k_1 y k_2 se determinarán con las condiciones de que en los dos apoyos frontales ($x = 0$ y $x = l$) el corrimiento longitudinal sea nulo, es decir, $u_v = 0$

$$x = 0 \quad u_v = 0 \quad k_2 = -\frac{S_v}{E \Omega_v} \cdot \frac{1^2}{n_v^2}$$

$$x = l \quad u_v = 0 \quad k_1 = 2 S_v \cdot \frac{1}{n_v^2}$$

y sustituyendo en la expresión de u_v se tiene:

$$u_v = \frac{S_v}{E\Omega_v} \frac{l^2}{n_{rc}^2 r^2} \left[2 \frac{x}{l} + \cos \frac{n\pi x}{l} - 1 \right]$$

Este corrimiento de la cabeza debe ser el mismo que el de la lámina, es decir:

$$u_v = (u_{\text{lamina}})_{\varphi=0}$$

$$\frac{S_v}{E\Omega_v} \frac{l^2}{n_{rc}^2 r^2} \left[2 \frac{x}{l} + \cos \frac{n\pi x}{l} - 1 \right] = (u_m)_{\varphi=0} +$$

$$+ (u_s)_{\substack{x=0 \\ \varphi=0}} \left[2 \frac{x}{l} + \cos \frac{n\pi x}{l} - 1 \right]$$

De la expresión anterior se obtiene el valor de S_v para acueducto lleno y acueducto vacío.

Acueducto lleno:

$$S_v = \frac{\Omega_v}{t} \frac{4l}{rn_{rc}^2 r^2} (1.000 r + 720) \cos \varphi_0 +$$
$$+ \frac{E\Omega_v}{l^2} n_{rc}^2 r^2 (u_s)_{\substack{x=0 \\ \varphi=0}}$$

Acueducto vacío:

$$S_v = \frac{\Omega v}{t} - \frac{41}{rn^2\pi^2} 720 \cos \psi_o + \frac{E\Omega v}{l^2} n^2 \pi^2 (u_s)_{x=0} \Big|_{\psi=0}$$

El esfuerzo en la viga de cabeza, en una sección x será:

$$T = S_v \cdot \frac{1}{n^2} \left[\frac{2}{n^2} - \sin \frac{n\pi x}{l} \right]$$

La primera condición de borde será, por lo tanto, que el esfuerzo cortante $N_{\psi x}$ de la lámina para $\psi = 0$ debe ser igual al esfuerzo S_v de la cabeza, es decir:

$$\left[N_{\psi x} + (N_{\psi x})_m \right] \psi = 0 = S_v \cos \frac{n\pi x}{l} \quad (V)$$

La segunda condición será que el esfuerzo vertical debe ser nulo. Siendo P el peso de la cabeza la expresión de esta condición será:

$$\begin{aligned} & \left[N_{\psi} \sin \psi_o + (N_{\psi})_m \sin \psi_o + R_{\phi} \cos \psi_o \right] \psi = 0 = \\ & = \frac{-4}{n^2} P \cdot \sin \frac{n\pi x}{l} \end{aligned} \quad (VI)$$

La tercera condición que se impone es la de corrimiento horizontal nulo, cuya expresión es - la siguiente:

$$[w \operatorname{sen} \psi_0 + (w)_m \operatorname{sen} \psi_0 + v \cos \psi_0 - (v)_m \cos \psi_0]_{\psi=0} = 0 \quad (\text{VII})$$

Y por último la cuarta condición es que el momento flector transversal debe ser igual al que produce la excentricidad de la cabeza respecto al punto O de la lámina (fig. 2).

$$[M_\psi]_{\psi=0} = P \cdot d \cdot \frac{4}{n\pi} \operatorname{sen} \frac{n\pi x}{l} \quad (\text{VIII})$$

En todo lo anterior y en lo que sigue, cuando (como en las ecuaciones III) aparecen algunos valores en función de x sin desarrollar en serie de Fourier se toma el desarrollo para lo cual - se utilizan las siguientes expresiones:

$$\begin{aligned} 1 &= \frac{4}{\pi} \left[\operatorname{sen} \frac{\pi x}{l} + \frac{1}{3} \operatorname{sen} \frac{3\pi x}{l} + \frac{1}{5} \operatorname{sen} \frac{5\pi x}{l} + \dots \right] = \\ &= \sum_{1,3,5,\dots} \frac{4}{n\pi} \operatorname{sen} \frac{n\pi x}{l} \end{aligned}$$

$$1 - \frac{2x}{1} = \frac{8}{\pi^2} \left[\cos \frac{\pi x}{1} + \frac{1}{9} \cos \frac{3\pi x}{1} + \frac{1}{25} \cos \frac{5\pi x}{1} + \dots \right] = \\ = \sum_{1,3,5,\dots} \frac{8}{n^2 \pi^2} \cos \frac{n\pi x}{1}$$

$$\frac{x}{1} (1 - \frac{x}{1}) = \frac{8}{\pi^3} \left[\sin \frac{\pi x}{1} + \frac{1}{27} \sin \frac{3\pi x}{1} + \frac{1}{125} \sin \frac{5\pi x}{1} + \dots \right] = \\ = \sum_{1,3,5,\dots} \frac{8}{n^3 \pi^3} \sin \frac{n\pi x}{1}$$

Determinación de las constantes B

Sustituyendo valores en el sistema formado por las cuatro ecuaciones (V), (VI), (VII) y (VIII) se obtienen los sistemas siguientes:

1º.- Acueducto lleno.- 1^{er} término

$$-B_1 = 4,5016663 B_2 + 1,9412452 B_3 + 0,24767940 B_4 = \\ = -615.985,47 \frac{4x}{Et}$$

$$B_1 + 28,989735 B_2 + 0,21354978 B_3 - 29,635708 B_4 = \\ = - 114.746,79 \frac{4x}{Et}$$

$$B_1 + 0,18873932B_2 + 0,80809320B_3 + 0,23188258B_4 = \\ = 72,35613 \frac{4x}{Et}$$

$$B_1 - 1,6252391B_2 - 1,2592449B_3 - 1,4039807B_4 = \\ = 44,097,740 \frac{4x}{Et}$$

Sistema que tiene como solución:

$$B_1 = 79.613,1 \cdot \frac{4x}{Et} \\ B_2 = 65.345,2 \frac{4x}{Et} \quad (IX) \\ B_3 = - 133.639,9 \frac{4x}{Et} \\ B_4 = 69.516,2 \frac{4x}{Et}$$

2º.- Acueducto lleno.- 2º término

$$-B_1 - 2,1039360B_2 + 1,4603853B_3 - 0,07386352B_4 = \\ = - 5.833,0947 \frac{4x}{Et} \\ B_1 - 17,809972B_2 - 4,3927594B_3 + 14,906660B_4 = \\ = 2,298,7153 \frac{4x}{Et}$$

$$B_1 + 0,08891979B_2 + 0,84937113B_3 + 0,25080409B_4 = \\ = 28,653012 \frac{4x}{Et}$$

$$B_1 - 0,78346657B_2 - 0,53079502B_3 - 0,75441448B_4 = \\ = 654,7051 \frac{4x}{Et}$$

Cuya solución es:

$$B_1 = 1.166,0 \frac{4x}{Et}$$

$$B_2 = 1021,8 \frac{4x}{Et} \quad (X)$$

$$B_3 = 1.683,0 \frac{4x}{Et}$$

$$B_4 = 800,9 \frac{4x}{Et}$$

3º.- Acueducto vacío.- 1^{er} término

$$-B_1 - 4,5016663B_2 + 1,9412452B_3 + 0,24767940B_4 = \\ = - 185.957,87 \frac{4x}{Et}$$

$$B_1 + 28,989735B_2 + 0,21354978B_3 - 29,635708B_4 = \\ = - 114.746,79 \frac{4x}{Et}$$

$$B_1 + 0,18873932B_2 + 0,80809320B_3 + 0,23188258B_4 = \\ = 72,35613 \frac{4x}{Et}$$

$$B_1 - 1,6252391B_2 - 1,2592449B_3 - 1,4039807B_4 = \\ = 44,097,74 \frac{4x}{Et}$$

Sistema que tiene como solución:

$$B_1 = 32.260,4 \frac{4x}{Et} \\ B_2 = 14.254,7 \frac{4x}{Et} \quad (XI) \\ B_3 = -48.485,9 \frac{4x}{Et}$$

$$B_4 = 18.555,1 \frac{4x}{Et}$$

4º.- Acueducto vacío.- 2º término

$$-B_1 - 2,1039360B_2 + 1,4603853B_3 - 0,07386352B_4 = \\ = - 1.760,9340 \frac{4x}{Et}$$

$$B_1 - 17,809972B_2 - 4,3927594B_3 + 14,906660B_4 = \\ = 2.298,7153 \frac{4x}{Et}$$

$$B_1 + 0,08891979B_2 + 0,84937113B_3 + 0,25080409B_4 = \\ = 28,6530 \frac{4x}{Et}$$

$$B_1 - 0,78346657B_2 - 0,53079502B_3 - 0,75441448B_4 = \\ = 654,7051 \frac{4x}{Et}$$

Cuya solución es:

$$B_1 = 521,51 \frac{4x}{Et}$$

$$B_2 = 148,68 \frac{4x}{Et} \quad (\text{III})$$

$$B_3 = 628,82 \frac{4x}{Et}$$

$$B_4 = 111,55 \frac{4x}{Et}$$

Esfuerzos del estado homogéneo.

Sustituyendo los valores de las B halladas anteriormente en las expresiones (IV) y efectuando operaciones se tiene:

12.- Acueducto lleno.- 1^{er} término

$$N_{x_s} = \left[-20.381\phi_1 + 7.715\phi_2 - 19.922\phi_3 - 1.038\phi_4 \right] \sin \frac{Rx}{1}$$

$$N_{\varphi_s} = \left[505\phi_1 - 565\phi_2 - 461\phi_3 - 927\phi_4 \right] \sin \frac{Rx}{1}$$

$$M_{x_s} = \left[-3.241\phi_5 + 3643\phi_6 - 1.234\phi_7 + 3.527\phi_8 \right] \cos \frac{Rx}{1}$$

$$M_{\varphi_s} = \left[-25\phi_1 - 20\phi_2 + 41\phi_3 - 21\phi_4 \right] \sin \frac{Rx}{1}$$

$$M_t_s = \left[307\phi_1 + 927\phi_2 + 58\phi_3 - 832\phi_4 \right] \sin \frac{Rx}{1}$$

$$Q_{x_s} = \left[44\phi_1 + 142\phi_2 + 16\phi_3 - 134\phi_4 \right] \cos \frac{Rx}{1}$$

$$Q_{\varphi_s} = \left[144\phi_5 - 632\phi_6 - 734\phi_7 + 113\phi_8 \right] \sin \frac{Rx}{1}$$

$$u_s = \left[19.482\phi_1 - 7.374\phi_2 + 19.043\phi_3 + 992\phi_4 \right] \frac{4x}{Et} \cos \frac{Rx}{1}$$

$$\frac{d}{d\varphi}(u_s)_{x=0} = \left[-24.172\phi_5 - 2.918\phi_6 - 6.135\phi_7 - 25.909\phi_8 \right] \frac{4x}{Et}$$

$$\frac{d^2}{d\varphi^2}(u_s)_{x=0} = \left[23.454\phi_1 + 16.118\phi_2 - 32.317\phi_3 + 18.377\phi_4 \right] \frac{4x}{Et}$$

$$\frac{d^3}{d\varphi^3}(u_s)_{x=0} = \left[-15.558\phi_5 - 29.401\phi_6 + 37.295\phi_7 + 36.105\phi_8 \right] \frac{4x}{Et}$$

(XIII)

$$\left. \begin{aligned} \frac{d^4}{d\varphi^4}(u_s)_{x=0} &= [184\varphi_1 + 38.879\varphi_2 + 33.766\varphi_3 - 64.132\varphi_4] \frac{4x}{Et} \\ \frac{d^5}{d\varphi^5}(u_s)_{x=0} &= [20.874\varphi_5 - 40.366\varphi_6 - 99.179\varphi_7 - 20.114\varphi_8] \frac{4x}{Et} \end{aligned} \right\} (XIII)$$

2º.- Acueducto lleno.- 2º término

$$N_{x_s} = [-894\varphi_1 + 209\varphi_2 - 792\varphi_3 - 140\varphi_4] \sin \frac{3nx}{l}$$

$$N_{\varphi_s} = [67\varphi_1 - 74\varphi_2 - 51\varphi_3 - 107\varphi_4] \sin \frac{3nx}{l}$$

$$M_{x_s} = [-265\varphi_5 + 185\varphi_6 - 155\varphi_7 + 243\varphi_8] \cos \frac{3nx}{l}$$

$$M_{\varphi_s} = [-3,2\varphi_1 - 2,8\varphi_2 + 4,7\varphi_3 - 2,2\varphi_4] \sin \frac{3nx}{l}$$

$$M_{t_s} = [8\varphi_1 + 39\varphi_2 + 6\varphi_3 - 34\varphi_4] \sin \frac{3nx}{l}$$

$$Q_{x_s} = [-7,8\varphi_5 - 12\varphi_6 + 10\varphi_7 + 6,6\varphi_8] \cos \frac{3nx}{l}$$

$$Q_{\varphi_s} = [2,4\varphi_1 + 17\varphi_2 + 4,9\varphi_3 - 17\varphi_4] \cos \frac{3nx}{l}$$

$$Q_t = [15\varphi_5 - 42\varphi_6 - 54\varphi_7 + 2,5\varphi_8] \sin \frac{3nx}{l}$$

$$u_s = [285\varphi_1 - 67\varphi_2 + 252\varphi_3 + 44\varphi_4] \frac{4x}{Et} \cos \frac{3nx}{l} \quad (XIV)$$

$$\frac{d}{d\varphi} (u_s)_{x=0} = [-644\varphi_5 - 93\varphi_6 + 121\varphi_7 - 546\varphi_8] \frac{4x}{Et}$$

$$\left. \begin{aligned} \frac{d^2}{d\varphi^2} (u_s)_{x=0} &= [1.252\varphi_1 + 734\varphi_2 - 1000\varphi_3 + 704\varphi_4] \frac{4r}{Et} \\ \frac{d^3}{d\varphi^3} (u_s)_{x=0} &= [-1.984\varphi_5 - 2.554\varphi_6 + 2.258\varphi_7 + 1.426\varphi_8] \frac{4r}{Et} \\ \frac{d^4}{d\varphi^4} (u_s)_{x=0} &= [1.994\varphi_1 + 6.923\varphi_2 + 983\varphi_3 - 5.752\varphi_4] \frac{4r}{Et} \\ \frac{d^5}{d\varphi^5} (u_s)_{x=0} &= [1.593\varphi_5 - 15.971\varphi_6 - 10.711\varphi_7 - 6.912\varphi_8] \frac{4r}{Et} \end{aligned} \right\} (XIV)$$

3º.- Acueducto vacío.- 1º término

$$\begin{aligned} N_x_s &= [-6.016\varphi_1 + 4.415\varphi_2 - 6.780\varphi_3 - 1.137\varphi_4] \sin \frac{\pi x}{l} \\ N_{\varphi s} &= [115\varphi_1 - 233\varphi_2 - 122\varphi_3 - 336\varphi_4] \sin \frac{\pi x}{l} \\ N_{\varphi x_s} &= [-735\varphi_5 + 1.499\varphi_6 - 561\varphi_7 + 1.159\varphi_8] \cos \frac{\pi x}{l} \\ M_x_s &= [-10\varphi_1 - 4.4\varphi_2 + 15\varphi_3 - 5.7\varphi_4] \sin \frac{\pi x}{l} \\ M_{\varphi s} &= [186\varphi_1 + 278\varphi_2 + 53\varphi_3 - 283\varphi_4] \sin \frac{\pi x}{l} \\ M_t_s &= [-66\varphi_5 - 36\varphi_6 + 48\varphi_7 + 24\varphi_8] \cos \frac{\pi x}{l} \\ Q_{x_s} &= [28\varphi_1 + 43\varphi_2 + 11\varphi_3 - 45\varphi_4] \cos \frac{\pi x}{l} \\ Q_{\varphi s} &= [-11\varphi_5 - 222\varphi_6 - 256\varphi_7 + 10\varphi_8] \sin \frac{\pi x}{l} \end{aligned} \right\} (XV)$$

$$u_s = [5.751\phi_1 + 4.220\phi_2 + 6.481\phi_3 + 1.087\phi_4] \frac{4x}{Et} \cos \frac{3\pi x}{1}$$

$$\frac{d}{d\varphi}(u_s)_{x=0} = [-8.243\phi_5 + 1.255\phi_6 - 1.083\phi_7 - 9.112\phi_8] \frac{4x}{Et}$$

$$\frac{d^2}{d\varphi^2}(u_s)_{x=0} = [9.217\phi_1 + 3.166\phi_2 - 11.786\phi_3 + 5.024\phi_4] \frac{4x}{Et}$$

$$\frac{d^3}{d\varphi^3}(u_s)_{x=0} = [7.830\phi_5 - 8.272\phi_6 + 11.352\phi_7 + 13.826\phi_8] \frac{4x}{Et}$$

$$\frac{d^4}{d\varphi^4}(u_s)_{x=0} = [3.627\phi_1 + 12.810\phi_2 + 14.079\phi_3 - 20.632\phi_4] \frac{4x}{Et}$$

$$\frac{d^5}{d\varphi^5}(u_s)_{x=0} = [3.183\phi_5 - 15.233\phi_6 - 33.168\phi_7 - 10.780\phi_8] \frac{4x}{Et}$$

4º.- Acueducto vacío.- 2º término

$$N_{x_s} = [-251\phi_1 + 200\phi_2 - 249\phi_3 - 118\phi_4] \operatorname{sen} \frac{3\pi x}{1}$$

$$N_{\varphi_s} = [10\phi_1 - 33\phi_2 - 7,3\phi_3 - 40\phi_4] \operatorname{sen} \frac{3\pi x}{1}$$

$$N_{\varphi x_s} = [-56\phi_5 + 98\phi_6 - 74\phi_7 + 66\phi_8] \cos \frac{3\pi x}{1}$$

$$N_{x_s} = [-1,4\phi_1 - 0,4\phi_2 + 1,7\phi_3 - 0,3\phi_4] \operatorname{sen} \frac{3\pi x}{1}$$

(XV)

(XVI)

$$M_{\varphi_3} = [3\varphi_1 + 11\varphi_2 + 5\varphi_3 - 11\varphi_4] \sin \frac{3kx}{1}$$

$$M_{t_3} = [-4,2\varphi_5 - 2,5\varphi_6 + 2,8\varphi_7 + 3,1\varphi_8] \cos \frac{3kx}{1}$$

$$Q_{x_3} = [3,3\varphi_1 + 5,1\varphi_2 + 3,2\varphi_3 - 5,2\varphi_4] \cos \frac{3kx}{1}$$

$$Q_{\varphi_3} = [-1,4\varphi_5 - 16\varphi_6 - 18\varphi_7 - 4\varphi_8] \sin \frac{3kx}{1}$$

$$u_s = [80\varphi_1 - 64\varphi_2 + 79\varphi_3 + 38\varphi_4] \frac{4x}{Et} \cos \frac{3kx}{1}$$

$$\frac{d}{d\varphi} (u_s)_{x=0} = [-218\varphi_5 + 66\varphi_6 + 9,4\varphi_7 - 192\varphi_8] \frac{4x}{Et}$$

$$\frac{d^2}{d\varphi^2} (u_s)_{x=0} = [506\varphi_1 + 45\varphi_2 - 394\varphi_3 + 142\varphi_4] \frac{4x}{Et}$$

$$\frac{d^3}{d\varphi^3} (u_s)_{x=0} = [-1.009\varphi_5 - 511\varphi_6 + 616\varphi_7 + 577\varphi_8] \frac{4x}{Et}$$

$$\frac{d^4}{d\varphi^4} (u_s)_{x=0} = [1.666\varphi_1 + 1.890\varphi_2 + 848\varphi_3 - 1.811\varphi_4] \frac{4x}{Et}$$

$$\frac{d^5}{d\varphi^5} (u_s)_{x=0} = [-1.885\varphi_5 - 5.288\varphi_6 - 2.910\varphi_7 - 3.258\varphi_8] \frac{4x}{Et}$$

(XVI)

Esfuerzos totales

Sustituyendo los valores de $\phi_1, \phi_2, \dots, \phi_8$ hallados anteriormente, en las expresiones (XIII), (XIV), (XV) y (XVI), después de efectuar operaciones e introducir estos nuevos valores en las expresiones (III) y sumar los esfuerzos debidos al estado membrana, se tendrán los esfuerzos totales para el 1^{er} y 2^o término de la serie y para distintos valores de ψ y \underline{x} . En los cuadros que se incluyen a continuación se pueden ver estos valores para los dos casos estudiados de acueducto lleno y acueducto vacío.

II_x -- AQUEDUCTO LLENO

$\frac{x}{l}$		Valores de φ en grados						
		0°	21°	42°	63°	84°	105°	126°
0	1º término	55.231	31.557	5.712	-10.004	-39.373	-52.750	-57.410
	2º término	606	350	-3	-276	-405	-572	-606
	TOTAL	55.827	31.913	5.709	-10.280	-39.838	-53.322	-58.016
0,1	1º término	28.421	10.230	2.039	-0.779	-20.201	-27.145	-29.543
	2º término	-1.956	-1.000	-9	776	1.308	1.610	1.706
	TOTAL	26.463	15.230	2.048	-0.003	-18.953	-25.535	-27.837
0,2	1º término	4.236	2.421	438	-1.458	-3.020	-4.046	-4.403
	2º término	-2.423	-1.238	-11	901	1.020	1.903	2.112
	TOTAL	1.813	1.183	440	-0.467	-1.400	-2.053	-2.291
0,3	1º término	-14.957	-8.546	-1.547	5.146	10.602	14.285	15.547
	2º término	-318	-102	-1	126	212	281	277
	TOTAL	-15.275	-8.708	-1.546	5.272	10.874	14.546	15.824
0,4	1º término	-27.200	-15.597	-2.821	8.380	10.447	20.054	20.396
	2º término	2.024	1.341	-42	-1.040	-1.754	-2.158	-2.287
	TOTAL	-24.956	-14.246	-2.833	8.346	17.693	23.806	26.000
0,5	1º término	-31.525	-18.013	-3.260	10.847	22.474	30.110	32.770
	2º término	3.976	2.032	-18	-1.577	-2.656	-3.280	-3.464
	TOTAL	-27.549	-15.981	-3.278	9.270	19.818	26.841	29.306

φ -- AGUEDUCTO LLENO

$\frac{x}{l}$		Valores de φ en grados						
		0°	21°	42°	63°	84°	105°	126°
0	1º término	0	0	0	0	0	0	0
	2º término	0	0	0	0	0	0	0
	TOTAL	0	0	0	0	0	0	0
0,1	1º término	-132	126	632	1.139	1.503	1.906	2.018
	2º término	-107	239	629	1.001	1.425	1.603	1.745
	TOTAL	-239	395	1.261	2.140	3.018	3.509	3.703
0,2	1º término	-250	334	1.202	2.187	3.031	3.825	3.838
	2º término	-120	245	740	1.248	1.876	1.954	2.051
	TOTAL	-370	579	1.942	3.415	4.707	5.579	5.889
0,3	1º término	-345	400	1.054	2.002	4.171	4.900	5.282
	2º término	-41	80	240	405	544	635	667
	TOTAL	-385	540	1.094	3.307	4.715	5.625	5.949
0,4	1º término	-405	541	1.945	3.516	4.904	5.860	6.209
	2º término	78	-152	-457	-771	-1.036	-1.208	-1.208
	TOTAL	-327	389	1.488	2.735	3.008	4.058	4.941
0,5	1º término	-420	509	2.045	3.006	5.156	6.168	6.520
	2º término	133	-258	-778	-1.312	-1.702	-2.055	-2.157
	TOTAL	-293	311	1.267	2.374	3.394	4.113	4.372

II φ_X - ACUEDUCTO LLERO

$\frac{x}{T}$		Valores de φ en grados						
		0°	21°	42°	63°	84°	105°	126°
0	1º término	11.566	18.137	20.953	19.914	15.447	9.409	0
	2º término	1.312	2.142	2.227	2.033	1.515	800	0
	TOTAL	12.878	20.279	23.177	21.947	16.922	9.415	0
0,1	1º término	10.000	17.249	19.924	18.039	14.091	7.937	0
	2º término	771	1.259	1.309	1.194	800	474	0
	TOTAL	11.771	18.508	21.233	20.133	15.591	8.471	0
0,2	1º término	9.349	14.873	16.949	16.111	12.497	6.804	0
	2º término	-105	-802	-898	-828	-408	-240	0
	TOTAL	8.944	14.011	16.201	15.483	12.090	6.565	0
0,3	1º término	6.792	10.601	12.314	11.705	8.060	4.943	0
	2º término	-1.248	-2.037	-2.118	-1.934	-1.441	-707	0
	TOTAL	5.544	8.564	10.196	9.771	7.039	4.176	0
0,4	1º término	3.571	5.805	6.474	6.154	4.773	2.599	0
	2º término	-1.001	-1.733	-1.802	-1.645	-1.226	-652	0
	TOTAL	2.570	3.802	4.672	4.500	3.547	1.947	0
0,5	1º término	0	0	0	0	0	0	0
	2º término	0	0	0	0	0	0	0
	TOTAL	0	0	0	0	0	0	0

Π_{φ} .- ACUEDUCTO LLENO

$\frac{x}{l}$		Valores de φ en grados						
		0°	21°	42°	63°	84°	105°	126°
0	1 ^{er} término	0	0	0	0	0	0	0
	2 ^o término	0	0	0	0	0	0	0
	TOTAL	0	0	0	0	0	0	0
0,1	1 ^{er} término	11	-2	-11	-14	-14	-11	-11
	2 ^o término	10	-5	-11	-8	0	5	7
	TOTAL	21	-7	-22	-22	-14	-6	-4
0,2	1 ^{er} término	22	-4	-21	-21	-26	-22	-21
	2 ^o término	11	-6	-12	-10	0	6	9
	TOTAL	33	-10	-33	-31	-26	-16	-12
0,3	1 ^{er} término	30	-6	-28	-37	-36	-30	-28
	2 ^o término	4	-2	-4	-3	0	2	3
	TOTAL	34	-8	-32	-40	-36	-28	-25
0,4	1 ^{er} término	35	-7	-33	-44	-41	-35	-33
	2 ^o término	-7	4	8	6	0	-4	-5
	TOTAL	28	-3	-25	-38	-41	-39	-38
0,5	1 ^{er} término	37	-7	-35	-46	-44	-37	-35
	2 ^o término	-12	6	13	10	0	-6	-9
	TOTAL	25	-1	-22	-36	-44	-43	-44

Σ_x - ACUEDUCTO LLENO

$\frac{x}{l}$		Valores de ψ en grados						
		0°	21°	42°	63°	84°	105°	126°
0	1º término	0	0	0	0	0	0	0
	2º término	0	0	0	0	0	0	0
	TOTAL	0	0	0	0	0	0	0
0,1	1º término	-2	-3	-4	-2	1	6	10
	2º término	2	1	-2	-2	-1	-1	-1
	TOTAL	0	-2	-3	-4	0	5	11
0,2	1º término	-4	-6	-7	-4	2	11	19
	2º término	2	1	-2	-2	-1	-1	1
	TOTAL	-2	-5	-9	-6	1	10	20
0,3	1º término	-6	-8	-10	-6	3	15	27
	2º término	1	0	-1	-1	0	0	0
	TOTAL	-5	-8	-11	-7	3	15	27
0,4	1º término	-7	-10	-11	-7	4	17	31
	2º término	-1	-1	1	1	1	1	-1
	TOTAL	-8	-11	-10	-6	5	18	30
0,5	1º término	-7	-10	-12	-7	4	18	33
	2º término	-2	-1	2	2	1	1	-1
	TOTAL	-9	-11	-10	-5	5	19	32

$\frac{L_1}{L_2}$ -- ACUEDUCTO LLENO

$\frac{x}{L}$		Valores de ψ en grados						
		0°	21°	42°	63°	84°	105°	126°
0	1 ^{er} término	18	18	16	12	8	2	0
	2 ^o término	2	4	0	-3	-4	-2	0
	TOTAL	20	22	16	9	4	0	0
0,1	1 ^{er} término	17	17	15	11	8	2	0
	2 ^o término	1	2	0	-2	-2	-1	0
	TOTAL	18	19	15	9	6	1	0
0,2	1 ^{er} término	15	15	13	10	8	2	0
	2 ^o término	-1	-1	0	1	1	1	0
	TOTAL	14	14	13	11	7	3	0
0,3	1 ^{er} término	11	11	9	7	5	1	0
	2 ^o término	-2	-4	0	3	4	2	0
	TOTAL	9	7	9	10	9	3	0
0,4	1 ^{er} término	6	6	5	4	2	1	0
	2 ^o término	-2	-3	0	2	3	2	0
	TOTAL	4	3	5	6	5	3	0
0,5	1 ^{er} término	0	0	0	0	0	0	0
	2 ^o término	0	0	0	0	0	0	0
	TOTAL	0	0	0	0	0	0	0

Q_φ - ACUEDUCTO LLENO

$\frac{x}{l}$		Valores de φ en grados						
		0°	21°	42°	63°	84°	105°	126°
0	1º término	0	0	0	0	0	0	0
	2º término	0	0	0	0	0	0	0
	TOTAL	0	0	0	0	0	0	0
0,1	1º término	-27	-28	-19	-9	-2	0	0
	2º término	-30	-20	-1	12	14	2	0
	TOTAL	-57	-48	-20	3	12	2	0
0,2	1º término	-51	-53	-36	-18	-4	1	0
	2º término	-35	-24	-1	14	16	10	0
	TOTAL	-86	-77	-37	-4	12	11	0
0,3	1º término	-70	-73	-50	-24	-6	1	0
	2º término	-11	-8	0	5	5	3	0
	TOTAL	-81	-81	-50	-19	-1	4	0
0,4	1º término	-83	-86	-59	-29	-7	1	0
	2º término	22	15	1	-9	-10	-6	0
	TOTAL	-61	-71	-58	-38	-17	-5	0
0,5	1º término	-87	-90	-62	-30	-7	1	0
	2º término	37	25	1	-16	-17	-11	0
	TOTAL	-50	-65	-61	-46	-24	-10	0

Q_x - ACUEDUCTO LLERO

1601

$\frac{x}{l}$		Valores de ψ en grados						
		0°	21°	42°	63°	84°	105°	126°
0	1 ^{er} término	11	1	-5	-10	-13	-13	-13
	2 ^o término	6	-3	-8	-6	0	3	5
	TOTAL	17	-2	-13	-16	-13	-10	-8
0,1	1 ^{er} término	10	1	-5	-10	-12	-12	-12
	2 ^o término	4	-2	-5	-4	0	2	3
	TOTAL	14	-1	-10	-14	-12	-10	-9
0,2	1 ^{er} término	9	1	-4	-8	-11	-11	-11
	2 ^o término	-2	1	2	2	0	-1	-2
	TOTAL	7	2	-2	-6	-11	-12	-13
0,3	1 ^{er} término	6	1	-3	-6	-8	-8	-8
	2 ^o término	-6	3	-8	-6	0	-3	-5
	TOTAL	0	4	5	0	-8	-11	-13
0,4	1 ^{er} término	3	0	-2	-3	-4	-4	-4
	2 ^o término	-5	2	6	5	0	-2	-4
	TOTAL	-2	2	4	2	-4	-6	-8
0,5	1 ^{er} término	0	0	0	0	0	0	0
	2 ^o término	0	0	0	0	0	0	0
	TOTAL	0	0	0	0	0	0	0

Esfuerzo en la cabecera (en Kg.)

	x/l				
	0	0,1	0,2	0,3	0,4
1º vértice	46.834	26.100	3.592	-12.803	-23.132
2º vértice	<u>-371</u>	<u>-1.602</u>	<u>-2.057</u>	<u>-4.00</u>	<u>2.227</u>
TOTAL	47.425	22.498	1.435	-12.852	-20.905
					<u>3.375</u>
					<u>-23.408</u>

$\frac{x}{L}$ -- AGUEDUCTO VACIO

$\frac{x}{L}$		Valores de ψ en grados						
		0°	21°	42°	63°	84°	105°	126°
0	1 ^{er} término	17.110	9.841	1.851	-754	-12.230	-16.440	-17.909
	2 ^o término	208	105	4	-81	-142	-177	-188
	TOTAL	17.318	9.946	1.855	-835	-12.372	-16.617	-18.097
0,1	1 ^{er} término	8.805	5.004	953	-393	-6.294	-8.400	-8.210
	2 ^o término	-596	-294	-11	227	399	409	529
	TOTAL	8.219	4.770	942	-101	-5.895	-7.901	-8.087
0,2	1 ^{er} término	1.312	755	142	-53	-938	-1.201	-1.374
	2 ^o término	-726	-394	-14	281	404	618	656
	TOTAL	586	391	128	223	-444	-643	-719
0,3	1 ^{er} término	-4.633	-2.605	-501	204	3.312	445	4.050
	2 ^o término	-95	-48	-2	37	65	81	86
	TOTAL	-4.728	-2.713	-503	241	3.377	526	4.036
0,4	1 ^{er} término	-8.459	-4.891	-814	372	6.041	8.120	8.846
	2 ^o término	786	394	15	-304	-534	-609	-710
	TOTAL	-7.675	-4.497	-809	68	5.507	7.451	8.136
0,5	1 ^{er} término	-9.786	-5.617	-1.057	430	6.981	9.384	10.223
	2 ^o término	1.192	598	23	-401	-910	-1.013	-1.075
	TOTAL	-8.574	-5.019	-1.034	-31	6.171	8.371	9.148

$\frac{H}{\varphi}$ - ACUEDUCTO VACIO

$\frac{x}{l}$		Valores de φ en grados						
		0°	21°	42°	63°	84°	105°	126°
0	1 ^{er} término	0	0	0	0	0	0	0
	2 ^o término	0	0	0	0	0	0	0
	TOTAL	0	0	0	0	0	0	0
0,1	1 ^{er} término	-141	-103	-33	62	152	216	239
	2 ^o término	-120	-74	1	81	152	200	215
	TOTAL	-201	-182	-32	143	304	416	454
0,2	1 ^{er} término	-207	-205	-63	118	289	411	455
	2 ^o término	-141	-87	1	95	179	235	253
	TOTAL	-348	-292	-62	213	468	646	708
0,3	1 ^{er} término	-388	-282	-87	162	398	566	626
	2 ^o término	-45	-48	0	31	58	76	82
	TOTAL	-413	-310	-87	193	456	642	708
0,4	1 ^{er} término	-403	-332	-102	100	408	665	736
	2 ^o término	87	54	-1	-59	-111	-145	-156
	TOTAL	-346	-278	-103	131	357	520	580
0,5	1 ^{er} término	-455	-348	-107	200	492	699	774
	2 ^o término	148	92	-1	-100	-188	-247	-266
	TOTAL	-307	-257	-108	100	304	452	508

II φ_{∞} - ACUEDUCTO VACIO

- 64 -

$\frac{x}{l}$		Valores de ψ en grados						
		0°	21°	42°	63°	84°	105°	126°
0	1º término	3.601	5.624	6.508	6.196	4.813	2.622	0
	2º término	<u>-392</u>	<u>-805</u>	<u>-676</u>	<u>-623</u>	<u>-470</u>	<u>-252</u>	<u>0</u>
	TOTAL	3.209	6.229	7.186	6.016	5.283	2.374	0
0,1	1º término	3.425	5.340	6.100	5.803	4.577	2.404	0
	2º término	<u>-230</u>	<u>-356</u>	<u>-399</u>	<u>-306</u>	<u>-276</u>	<u>-148</u>	<u>0</u>
	TOTAL	3.195	5.205	6.500	6.250	4.953	2.562	0
0,2	1º término	2.913	4.556	5.205	5.013	3.804	2.121	0
	2º término	<u>-121</u>	<u>-187</u>	<u>-210</u>	<u>-192</u>	<u>-145</u>	<u>-78</u>	<u>0</u>
	TOTAL	2.792	4.393	5.055	4.821	3.740	2.043	0
0,3	1º término	2.117	3.306	3.825	3.642	2.820	1.541	0
	2º término	<u>-372</u>	<u>-575</u>	<u>-646</u>	<u>-593</u>	<u>-447</u>	<u>-240</u>	<u>0</u>
	TOTAL	1.745	2.731	3.180	3.049	2.302	1.301	0
0,4	1º término	1.113	1.738	2.011	1.915	1.487	810	0
	2º término	<u>-317</u>	<u>-489</u>	<u>-549</u>	<u>-504</u>	<u>-380</u>	<u>-204</u>	<u>0</u>
	TOTAL	796	1.249	1.462	1.411	1.107	606	0
0,5	1º término	0	0	0	0	0	0	0
	2º término	<u>0</u>	<u>0</u>	<u>0</u>	<u>0</u>	<u>0</u>	<u>0</u>	<u>0</u>
	TOTAL	0	0	0	0	0	0	0

$\frac{H}{L}$ - AQUEDUCTO VACIO

$\frac{H}{L}$		Valores de φ en grados						
		0	21°	42°	63°	84°	105°	126°
0	1º término	0	0	0	0	0	0	0
	2º término	0	0	0	0	0	0	0
	TOTAL	0	0	0	0	0	0	0
0,1	1º término	11	5	0	-4	-5	-5	-5
	2º término	10	2	-3	-3	0	1	2
	TOTAL	21	7	-3	-7	-5	-4	-3
0,2	1º término	22	9	-1	-7	-10	-10	-10
	2º término	11	3	-4	-4	0	1	3
	TOTAL	33	12	-5	-11	-10	-9	-7
0,3	1º término	30	12	-1	-10	-14	-14	-14
	2º término	4	1	-1	-1	0	0	1
	TOTAL	34	13	-2	-11	-14	-14	-13
0,4	1º término	35	14	-1	-11	-16	-16	-16
	2º término	-7	-2	2	2	0	-1	-2
	TOTAL	28	12	1	-9	-16	-17	-18
0,5	1º término	37	15	-1	-12	-17	-17	-17
	2º término	-12	-3	4	4	0	-1	-3
	TOTAL	25	12	3	-8	-17	-18	-20

$\frac{Q}{x} \leftarrow$ ACUEDUCTO VACIO

$\frac{x}{l}$		Valores de φ en grados						
		0°	21°	42°	63°	84°	105°	126°
0	1 ^{er} término	0	0	0	0	0	0	0
	2 ^o término	0	0	0	0	0	0	0
	TOTAL	0	0	0	0	0	0	0
0,1	1 ^{er} término	1	0	0	0	-1	-1	-1
	2 ^o término	1	0	0	0	0	0	0
	TOTAL	2	0	0	0	-1	-1	-1
0,2	1 ^{er} término	1	1	1	-1	-2	-2	-2
	2 ^o término	1	0	0	0	0	0	0
	TOTAL	2	1	1	-1	-2	-2	-2
0,3	1 ^{er} término	2	1	1	-1	-2	-2	-3
	2 ^o término	0	0	0	0	0	0	0
	TOTAL	2	1	1	-1	-2	-2	-3
0,4	1 ^{er} término	2	1	1	-1	-3	-3	-4
	2 ^o término	1	0	0	0	0	0	0
	TOTAL	1	1	1	-1	-3	-3	-4
0,5	1 ^{er} término	2	1	1	-1	-3	-3	-4
	2 ^o término	1	0	0	0	0	0	0
	TOTAL	1	1	1	-1	-3	-3	-4

$\frac{H_1}{L}$ - AGUEDUCTO VACIO

$\frac{x}{L}$		Valores de φ en grados						
		0°	21°	42°	63°	84°	105°	126°
0	1 ^{er} término	1	5	5	5	3	1	0
	2 ^o término	-1	1	1	0	-1	-1	0
	TOTAL	0	6	6	5	2	0	0
0,1	1 ^{er} término	1	5	5	5	3	1	0
	2 ^o término	-1	1	1	0	-1	-1	0
	TOTAL	0	6	6	5	2	0	0
0,2	1 ^{er} término	1	4	4	4	2	1	0
	2 ^o término	0	0	0	0	0	0	0
	TOTAL	1	4	4	4	2	1	0
0,3	1 ^{er} término	1	3	3	3	2	1	0
	2 ^o término	-1	-1	-1	0	1	1	0
	TOTAL	2	2	2	3	3	2	0
0,4	1 ^{er} término	0	2	2	2	1	0	0
	2 ^o término	1	-1	-1	0	1	1	0
	TOTAL	1	1	1	2	2	1	0
0,5	1 ^{er} término	0	0	0	0	0	0	0
	2 ^o término	0	0	0	0	0	0	0
	TOTAL	0	0	0	0	0	0	0

$Q\varphi$ -- ACUEDUCTO VACIO

$\frac{A}{T}$		Valores de φ en grados						
		0°	21°	42°	63°	84°	105°	126°
0	1º término	0	0	0	0	0	0	0
	2º término	0	0	0	0	0	0	0
	TOTAL	0	0	0	0	0	0	0
0,1	1º término	-12	-12	-10	-6	-3	-2	0
	2º término	-17	-13	-5	2	5	3	0
	TOTAL	-29	-25	-15	-4	2	1	0
0,2	1º término	-22	-23	-19	-12	-6	-3	0
	2º término	-20	-15	-6	3	6	4	0
	TOTAL	-42	-38	-25	-9	0	1	0
0,3	1º término	-31	-32	-27	-17	-9	-4	0
	2º término	-8	-5	2	1	2	1	0
	TOTAL	-37	-37	-29	-16	-7	-3	0
0,4	1º término	-38	-37	-31	-20	-10	-5	0
	2º término	12	9	4	2	4	2	0
	TOTAL	-24	-28	-27	-22	-14	-7	0
0,5	1º término	-38	-39	-33	-21	-11	-5	0
	2º término	21	16	6	-3	-6	-4	0
	TOTAL	-17	-23	-27	-24	-17	-9	0

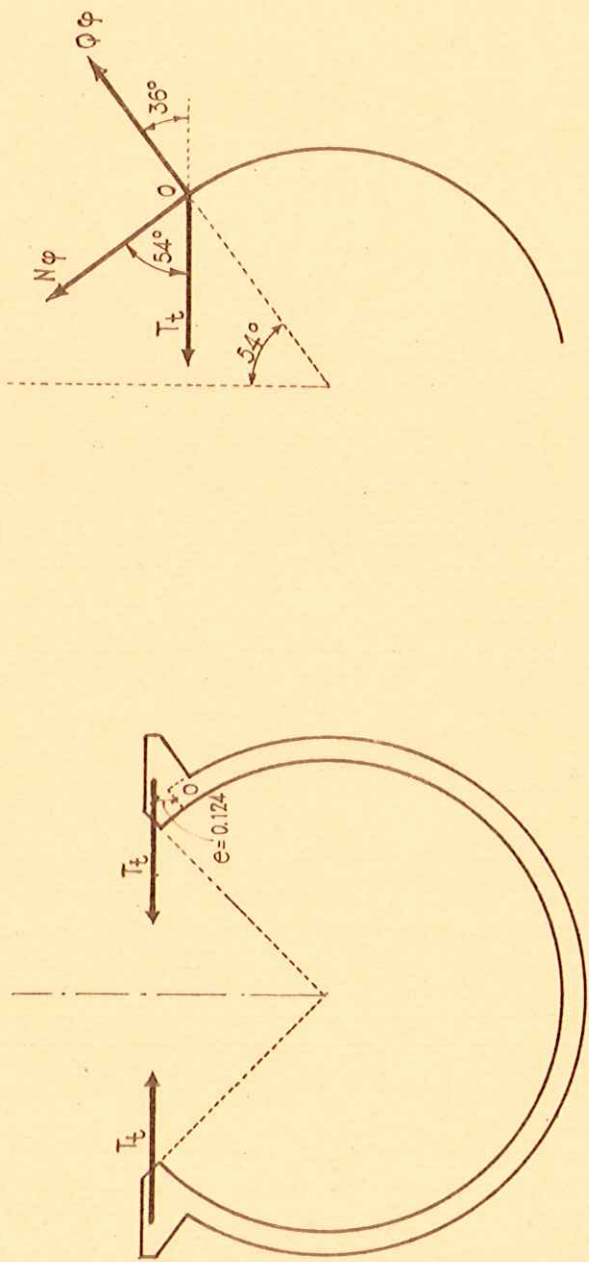
Q_x - ACUEDUCTO VACIO

$\frac{x}{l}$		Valores de φ en grados						
		0°	21°	42°	63°	84°	105°	126°
0	1 ^{er} término	8	4	0	-2	-4	-5	-5
	2 ^o término	<u>5</u>	<u>7</u>	<u>5</u>	<u>1</u>	<u>-1</u>	<u>1</u>	<u>2</u>
	TOTAL	13	11	5	-1	-5	-4	-3
0,1	1 ^{er} término	8	4	0	-2	-4	-5	-5
	2 ^o término	<u>3</u>	<u>4</u>	<u>3</u>	<u>1</u>	<u>-1</u>	<u>1</u>	<u>1</u>
	TOTAL	11	8	3	-1	-5	-4	-4
0,2	1 ^{er} término	6	3	0	-2	-3	-4	-4
	2 ^o término	<u>-2</u>	<u>-2</u>	<u>-2</u>	<u>0</u>	<u>0</u>	<u>0</u>	<u>-1</u>
	TOTAL	4	1	-2	-2	-3	-4	-5
0,3	1 ^{er} término	5	2	0	-1	-2	-3	-3
	2 ^o término	<u>-5</u>	<u>-7</u>	<u>-5</u>	<u>-1</u>	<u>1</u>	<u>-1</u>	<u>-2</u>
	TOTAL	0	-5	-5	-2	-1	-4	-5
0,4	1 ^{er} término	2	1	0	-1	-1	-2	-2
	2 ^o término	<u>-4</u>	<u>-6</u>	<u>-4</u>	<u>-1</u>	<u>1</u>	<u>-1</u>	<u>-2</u>
	TOTAL	-2	-5	-4	-2	0	-3	-4
0,5	1 ^{er} término	0	0	0	0	0	0	0
	2 ^o término	<u>0</u>	<u>0</u>	<u>0</u>	<u>0</u>	<u>0</u>	<u>0</u>	<u>0</u>
	TOTAL	0	0	0	0	0	0	0

Esfuerzo en la cabeza (en Kg.)

	x/l				
	0	0,1	0,2	0,3	0,4
1º término	14.505	7.510	1.110	-3.052	-7.208
2º término	<u>177</u>	<u>-407</u>	<u>-019</u>	<u>-81</u>	<u>065</u>
TOTAL	14.772	7.013	593	-4.033	-6.543
					-7.241

Fig. 3



Esfuerzos en los tensores que unen las dos cabezas de la cuba.

En el cálculo expuesto en las páginas anteriores, se ha impuesto la condición de que los bordes longitudinales de la lámina no tienen corrimiento horizontal; para que esto se cumpla es necesario aplicar, mediante unos tensores o separadores, unos esfuerzos horizontales T_t , que deben ser los precisos para producir en los bordes citados los esfuerzos obtenidos anteriormente en el cálculo laminar.

La expresión de estos esfuerzos T_t se puede obtener fácilmente (véase fig. 3) y es la siguiente:

$$T_t = N\varphi \cdot \cos 54^\circ - Q\varphi \cdot \operatorname{sen} 54^\circ$$

Siendo positivo cuando este esfuerzo tiende a unir las cabezas y negativo cuando tiende a separarlas.

Si se utiliza la expresión anterior, siendo $N\varphi$ y $Q\varphi$ los valores hallados en el cálculo laminar para $\varphi = 0$ se tienen los valores del esfuerzo T_t para acueducto vacío y acueducto lleno.

$\frac{x}{l}$	0	0,1	0,2	0,3	0,4	0,5
T_t Acueducto vacío	0	-130	-205	-190	-184	-168
Acueducto lleno	0	-94	-115	-160	-143	-132

Estos valores acusan las ondas correspondientes al desarrollo en serie de Fourier limitado en los dos primeros términos. Si se estima la influencia del 3º y 4º término de la serie, se llegaría a una ley más uniforme y cuyos valores serían prácticamente los que se indican a continuación:

$\frac{x}{l}$	0	0,1	0,2	0,3	0,4	0,5
T_t Acueducto vacío	0	-155	-190	-190	-190	-190
Acueducto lleno	0	-115	-146	-146	-146	-146

(XVII)

En lo que sigue se tomarán estos últimos valores.

Con objeto de dar una compresión en toda la cara interior de la cuba, para evitar la fisuración, es necesario introducir un nuevo esfuerzo mediante los tensores. Después de algunos tanteos se llega a la conclusión de que el valor de este nuevo esfuerzo debe ser positivo y de unos 300 Kg. por metro lineal y uniforme en toda la longitud.

Si se toma el valor citado anteriormente, los esfuerzos definitivos que habrá que introducir mediante los tensores que unen las cabezas serán la suma de este esfuerzo de 300 Kg. por m. y de los valores (XVII) es decir:

Esfuerzos definitivos en los tensores que unen las cabezas.

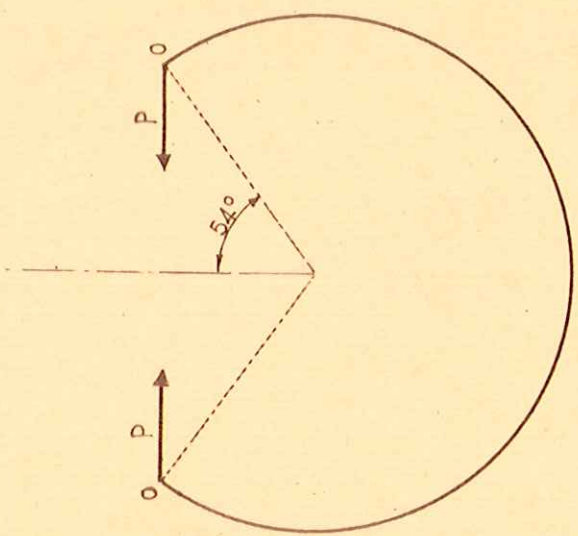
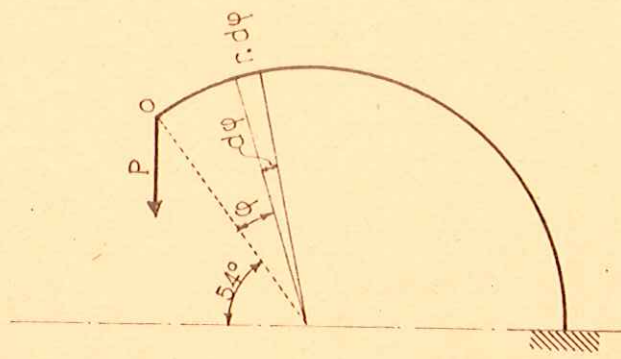
X I	0	0,1	0,2	0,3	0,4	0,5
Acueducto vacío	300	145	110	110	110	110
Kg/m.l.						

(XVIII)

Acueducto lleno 300 185 154 154 154 154 Kg/m.l.

Debido a estos nuevos esfuerzos, aparecen en la lámina unos esfuerzos adicionales N_y , Q_y , y

Fig. 4



M_φ cuyos valores se indican a continuación.

Ψ	0°	21°	42°	63°	84°	105°	126°	
$H_\varphi = 300 \cdot \cos(54^\circ + \varphi)$	176	78	-31	-136	-223	-280	-300	
$Q_\varphi = -300 \cdot \sin(54^\circ + \varphi)$	-243	-290	-298	-267	-201	-108	0	(XIX)
$M_\varphi = -300 \cdot 0,124 +$ $+ 300 \cdot r [\cos(54^\circ +$ $+ \varphi) - \cos 54^\circ]$	-37	-202	-383	-558	-702	-797	-830	

Hay que hacer constar que todos estos esfuerzos son independientes de la abcisa longitudinal x .

Al introducir los esfuerzos que aparecen en (XVIII) en los bordes de la lámina, el recorrido horizontal que se había supuesto nulo en el cálculo laminar, tendrá un valor δ uniforme en toda la longitud que es preciso determinar ya que los marcos de rigidez deberán presentar el mismo corrimiento.

Si se observa la fig. 4, el corrimiento horizontal δ del punto Q , debido al esfuerzo horizontal P tiene la siguiente expresión:

$$\delta = \int_0^{10-54^\circ} M_f \cdot \frac{dM_f}{dP} \cdot d\xi = \int_0^{10-54^\circ} M_f \cdot \frac{dM_f}{dP} \cdot \frac{r}{EI} \cdot d\varphi$$

$$M_f = P + r [\cos 54^\circ - \cos (54^\circ + \varphi)]$$

$$\frac{dM_f}{dP} = r [(\cos 54^\circ - \cos (54^\circ + \varphi))]$$

$$\begin{aligned}\delta &= P \frac{r^3}{EI} \int_{0}^{10-54^\circ} [\cos 54^\circ - \cos (54^\circ + \varphi)] d\varphi = \\&= P \frac{r^3}{EI} \int_{54^\circ}^{10} [\cos 54^\circ - \cos \varphi]^2 d\varphi = \\&= P \frac{r^3}{EI} \left[0,7 \left(\frac{1}{2} + \cos^2 54^\circ \right) + \frac{3}{2} \sin 54^\circ \cos 54^\circ \right] = \\&= 2,573 P \cdot \frac{r^3}{EI} = 2,573 \frac{1}{E} \frac{300}{100} \frac{166,5^3}{\frac{1}{12} \cdot 15^3} = 126.670 \frac{1}{E}\end{aligned}$$

Luego:

$$\delta = \frac{126.670}{E} \quad (\text{XX})$$

δ viene medido en cm. si E se expresa en Kg/cm^2

Estudio de las tensiones en la pared interior de la cuba.

Se estudiarán los dos casos más desfavorables

que se pueden presentar; en primer lugar acueducto vacío sin compresión longitudinal, en estas condiciones estará durante la construcción y en segundo lugar acueducto en servicio, es decir lleno y con la compresión longitudinal.

a) Acueducto vacío.

Antes de descimbrar se dará a los tensores que unen las cabezas los esfuerzos que se indican en (XVIII) para acueducto vacío; con lo cual los valores de N_φ y M_φ del cálculo laminar vendrán incrementados en los valores indicados en (XIX), es decir los valores de estos esfuerzos que habrá que considerar, en este caso, serán los que se indican en los dos cuadros siguientes:

χ_2	φ	0°	21°	42°	63°	84°	105°	126°
0	0	176	78	-31	-136	-43	-40	-300
0.1	-35	-104	-13	7	61	130	154	408
0.2	-22	-114	-83	77	245	300	403	403
0.3	-27	-232	-118	57	233	302	240	280
0.4	-170	-206	-134	-5	134	81	172	206
0.5	-131	-179	-139	-30	81	172	206	206

$\frac{x}{l}$	φ	0°	21°	42°	63°	84°	105°	126°
0	0	-37	-202	-303	-558	-702	-797	-850
0,1	-10	-165	-300	-505	-707	-801	-833	-871
0,2	-4	-100	-200	-300	-712	-806	-837	-868
0,3	-3	-160	-305	-509	-710	-811	-843	-880
0,4	-9	-100	-202	-307	-716	-814	-846	-881
0,5	-12	-100	-200	-308	-716	-815	-849	-884

A partir de los valores de N_φ y M_φ de los cuadros anteriores y los de N_x , $N_{\varphi x}$, M_x y $M_{\varphi x}$ del cálculo laminar, se obtienen las tensiones en la cara interior de la cuba mediante las fórmulas:

$$\sigma_x = \frac{N_x}{1500} + \frac{M_x}{37,5} \quad (\text{Kg/cm}^2)$$

$$\sigma_\varphi = \frac{N_\varphi}{1500} + \frac{M_\varphi}{37,5} \quad (\text{Kg/cm}^2)$$

$$\tau_{x\varphi} = \frac{N_{\varphi x}}{1500} + \frac{M_t}{37,5} \quad (\text{Kg/cm}^2)$$

σ_x (kg/cm²)

$\frac{x}{l}$		Valores de φ en grados						
		0	21	42	63	84	105	126
0	$\frac{I_x / 1500}{C_x}$	11,5	6,6	1,2	-0,6	-3,3	-11,1	-12,1
	$\frac{I_x / 37,5}{C_x}$	0,0 11,5	0,0 6,6	0,0 1,2	0,0 -0,6	0,0 -3,3	0,0 -11,1	0,0 -12,1
0,1	$\frac{I_x / 1500}{C_x}$	5,5	3,2	0,6	-0,1	-3,0	-6,3	-5,8
	$\frac{I_x / 37,5}{C_x}$	0,1 5,0	0,0 3,2	0,0 0,6	0,0 -0,1	0,0 -3,0	0,0 -6,3	0,0 -5,8
0,2	$\frac{I_x / 1500}{C_x}$	0,4	0,3	0,1	0,1	-0,3	-4,3	-0,5
	$\frac{I_x / 37,5}{C_x}$	0,1 0,5	0,0 0,3	0,0 0,1	0,0 0,1	-0,1 -0,4	-0,1 -4,4	-0,1 -0,6
0,3	$\frac{I_x / 1500}{C_x}$	-3,1	-1,8	-0,3	0,2	2,3	0,3	3,3
	$\frac{I_x / 37,5}{C_x}$	0,1 -3,0	0,0 -1,8	0,0 -0,3	0,0 0,2	-0,1 -2,2	-0,1 0,2	-0,1 3,2
0,4	$\frac{I_x / 1500}{C_x}$	-5,1	-3,0	-0,6	0,0	3,7	5,0	5,4
	$\frac{I_x / 37,5}{C_x}$	0,0 -5,1	0,0 -3,0	0,0 -0,6	0,0 0,0	-0,1 3,6	-0,1 4,9	-0,1 5,3
0,5	$\frac{I_x / 1500}{C_x}$	-5,7	-3,3	-0,7	0,0	4,1	5,6	6,1
	$\frac{I_x / 37,5}{C_x}$	0,0 -5,7	0,0 -3,3	0,0 -0,7	0,0 0,0	-0,1 4,0	-0,1 5,5	-0,1 6,0

T_φ (kg/cm²)

$\frac{x}{l}$	I	Valores de φ en grados							
		0	21	42	63	84	105	126	
0	$\frac{N_\varphi / 1500}{T_\varphi}$	0,1	0,0	0,0	-0,1	-0,2	-0,2	-0,2	
	$\frac{N_\varphi / 37,5}{T_\varphi}$	-1,0	-5,5	-10,2	-14,0	-18,7	-21,4	-22,1	
	$\frac{N_\varphi / 37,5}{T_\varphi}$	-0,9	-5,4	-10,4	-15,0	-18,9	-21,4	-22,3	
0,1	$\frac{N_\varphi / 1500}{T_\varphi}$	0,0	-0,1	0,0	0,0	0,0	0,1	0,1	
	$\frac{N_\varphi / 37,5}{T_\varphi}$	-0,4	-5,2	-10,3	-15,1	-18,9	-21,4	-22,2	
	$\frac{N_\varphi / 37,5}{T_\varphi}$	-0,4	-5,3	-10,3	-15,1	-18,9	-21,3	-22,1	
0,2	$\frac{N_\varphi / 1500}{T_\varphi}$	-0,2	-0,1	-0,1	0,0	0,2	0,2	0,3	
	$\frac{N_\varphi / 37,5}{T_\varphi}$	-0,3	-5,1	-10,3	-15,2	-19,0	-21,5	-22,3	
	$\frac{N_\varphi / 37,5}{T_\varphi}$	-0,3	-5,2	-10,4	-15,2	-18,8	-21,3	-22,0	
0,3	$\frac{N_\varphi / 1500}{T_\varphi}$	-0,2	-0,2	-0,1	0,0	0,2	0,2	0,3	
	$\frac{N_\varphi / 37,5}{T_\varphi}$	-0,1	-5,0	-10,3	-15,2	-19,1	-21,6	-22,5	
	$\frac{N_\varphi / 37,5}{T_\varphi}$	-0,3	-5,2	-10,4	-15,2	-18,9	-21,4	-22,2	
0,4	$\frac{N_\varphi / 1500}{T_\varphi}$	-0,1	-0,1	-0,1	0,0	0,1	0,2	0,2	
	$\frac{N_\varphi / 37,5}{T_\varphi}$	-0,3	-5,1	-10,2	-15,1	-19,1	-21,7	-22,6	
	$\frac{N_\varphi / 37,5}{T_\varphi}$	-0,4	-5,2	-10,3	-15,1	-19,0	-21,5	-22,4	
0,5	$\frac{N_\varphi / 1500}{T_\varphi}$	-0,1	-0,1	-0,1	0,0	0,1	0,1	0,1	
	$\frac{N_\varphi / 37,5}{T_\varphi}$	-0,3	-5,1	-10,1	-15,1	-19,2	-21,7	-22,7	
	$\frac{N_\varphi / 37,5}{T_\varphi}$	-0,4	-5,2	-10,2	-15,1	-19,1	-21,6	-22,6	

$\sigma_{x\varphi}$ (Kg/cm²)

$\frac{x}{l}$		Valores de φ en grados						
		0	21	42	63	84	105	126
0	$\frac{N_{\varphi x} / 1500}{\sigma_{x\varphi}}$	2,7	4,2	4,8	4,6	3,5	1,9	0,0
	$\frac{N_t / 37,5}{\sigma_{x\varphi}}$	0,0	0,2	0,2	0,2	0,1	0,0	0,0
0,1	$\frac{N_{\varphi x} / 1500}{\sigma_{x\varphi}}$	2,4	3,8	4,5	4,1	3,4	1,8	0,0
	$\frac{N_t / 37,5}{\sigma_{x\varphi}}$	0,0	0,2	0,2	0,2	0,1	0,0	0,0
0,2	$\frac{N_{\varphi x} / 1500}{\sigma_{x\varphi}}$	1,9	2,9	3,4	3,2	2,5	1,4	0,0
	$\frac{N_t / 37,5}{\sigma_{x\varphi}}$	0,0	0,1	0,1	0,1	0,1	0,0	0,0
0,3	$\frac{N_{\varphi x} / 1500}{\sigma_{x\varphi}}$	1,1	1,8	2,1	2,0	1,8	0,9	0,0
	$\frac{N_t / 37,5}{\sigma_{x\varphi}}$	0,1	0,1	0,1	0,1	0,1	0,1	0,0
0,4	$\frac{N_{\varphi x} / 1500}{\sigma_{x\varphi}}$	0,5	0,8	1,0	0,9	0,7	0,4	0,0
	$\frac{N_t / 37,5}{\sigma_{x\varphi}}$	0,0	0,0	0,0	0,1	0,1	0,0	0,0
0,5	$\frac{N_{\varphi x} / 1500}{\sigma_{x\varphi}}$	0,0	0,0	0,0	0,0	0,0	0,0	0,0
	$\frac{N_t / 37,5}{\sigma_{x\varphi}}$	0,0	0,0	0,0	0,0	0,0	0,0	0,0

Las tensiones principales tienen la expresión:

$$\left. \begin{array}{l} \sigma_1 \\ \sigma_{11} \end{array} \right\} = \frac{1}{2} \left[(\sigma_x + \sigma_\varphi) \pm \sqrt{(\sigma_x - \sigma_\varphi)^2 + (2\sigma_{x\varphi})^2} \right]$$

y sus valores se pueden ver en el cuadro siguiente

Tensiones principales en kg/cm^2 , en la cara interior de la cuba

ACUEDUCTO VACIO (sin compresión longitudinal)

$\frac{x}{l}$		Valores de φ en grados						
		0	21	42	63	84	105	126
0	σ_1	12,0	8,0	3,1	0,8	-7,2	-10,8	-12,1
	σ_{II}	-1,5	-6,8	-12,1	-16,5	-20,0	-21,7	-22,3
0,1	σ_1	6,5	4,8	2,3	1,0	-3,2	-5,1	-5,8
	σ_{II}	-1,2	-6,9	-12,1	-16,3	-19,0	-21,5	-22,1
0,2	σ_1	2,0	1,6	1,1	0,8	0,0	-4,3	-6,6
	σ_{II}	-1,0	-6,5	-11,5	-15,9	-19,2	-21,4	-22,0
0,3	σ_1	0,1	-1,0	0,1	0,5	2,3	0,2	3,2
	σ_{II}	-3,5	-6,1	-10,8	-15,5	-19,0	-21,5	-22,2
0,4	σ_1	-0,3	-2,8	-0,5	0,0	3,6	4,9	5,3
	σ_{II}	5,2	-5,4	-10,4	-15,1	-19,1	-21,0	-22,4
0,5	σ_1	-0,4	-3,3	-0,7	0,0	4,0	5,5	6,0
	σ_{II}	-5,7	-5,2	-10,2	-15,1	-19,1	-21,0	-22,6

De la observación del cuadro anterior se deduce, que para el caso de acueducto vacío toda la cara interior de la cuba está trabajando a compresión, exceptuando una pequeña zona en la parte baja del centro del vano que tiene una tracción máxima de 6 Kg/cm^2 y otra zona en la parte alta del apoyo en que aparece una tensión máxima de tracción de 12 Kg/cm^2 .

Teniendo en cuenta que al acueducto, además de la compresión longitudinal, se le aplicarán unos pretensados parciales en las cabezas superiores y en cima de las zonas de apoyo de las pilas, las tensiones halladas anteriormente se reducirán notablemente, como se verá en el cálculo de este pretensado.

b) Acueducto lleno

El esfuerzo de compresión longitudinal que transmite el arco es de 440 T; no obstante y como caso más desfavorable para tener en cuenta pérdidas - por rozamiento, etc, se rebajará la cifra anterior en un 25%, con lo que se considerará una compresión longitudinal de cálculo de 330 T.

Los esfuerzos en los tensores que unen las cabezas son los indicados en (XVIII) para acueducto lleno.

El esfuerzo de compresión longitudinal - de 330 T, representa una tensión longitudinal de:

$$\sigma_x = \frac{330.000}{s} = \frac{330.000}{13.670} = 24,1 \text{ Kg/cm}^2 \text{ a compresión}$$

Los valores de los esfuerzos $N\varphi$ y $M\varphi$ - que habrá que considerar en este caso serán los correspondientes al cálculo laminar incrementados con los valores indicados en (XIX) y que se indican en los dos cuadros siguientes:

II₀

χ_2	ψ	0°	21°	42°	63°	84°	105°	126°
0		176	78	-31	-136	-223	-280	-300
0,1		-63	493	1230	2064	2795	3289	3463
0,2		-200	857	1911	3279	4464	5299	5589
0,3		-209	618	1803	3251	4402	5345	5040
0,4		-151	467	1457	2509	3845	4378	4641
0,5		-117	389	1236	2238	3171	3833	4072

$\eta \psi$

χ_2	φ	0°	21°	42°	63°	84°	105°	126°
0	-37	-202	-303	-358	-702	-707	-630	
0.1	-16	-209	-405	-593	-716	-903	-834	
0.2	-4	-212	-416	-595	-723	-913	-842	
0.3	-3	-210	-415	-593	-723	-915	-855	
0.4	-9	-205	-409	-590	-713	-906	-838	
0.5	-12	-203	-405	-594	-716	-909	-874	

Aplicando las fórmulas

$$\sigma_x = \frac{N_x}{1500} + \frac{M_x}{37,5} = 24,1 \text{ (Kg/cm}^2\text{)}$$

$$\sigma_\varphi = \frac{N_\varphi}{1500} + \frac{M_\varphi}{37,5} \quad (\text{Kg/cm}^2)$$

$$\sigma_{x\varphi} = \frac{N_{x\varphi}}{1500} + \frac{M_\varphi}{37,5} \quad (\text{Kg/cm}^2)$$

se obtienen los valores de las tensiones en la cara anterior de la cuba que se pueden ver en los tres cuadros siguientes

σ_x (kg/cm²)

		Valores de ψ en grados						
	$\frac{x}{l}$	0	21	42	63	84	105	126
0	Pretensado	-24,1	-24,1	-24,1	-24,1	-24,1	-24,1	-24,1
	$E_x / 1500$	37,3	21,3	3,8	-12,9	-26,5	-35,8	-39,7
	$E_x / 37,5$	0,0	0,0	0,0	0,0	0,0	0,0	0,0
	σ_x	13,2	-2,8	-20,3	-37,0	-50,6	-59,7	-62,8
0,1	Pretensado	-24,1	-24,1	-24,1	-24,1	-24,1	-24,1	-24,1
	$E_x / 1500$	17,8	10,1	4,0	-6,0	-12,6	-17,0	-18,5
	$E_x / 37,5$	0,0	-0,1	-0,2	-0,1	0,0	0,1	0,3
	σ_x	-8,5	-14,1	-22,3	-30,2	-38,7	-41,0	-42,3
0,2	Pretensado	-24,1	-24,1	-24,1	-24,1	-24,1	-24,1	-24,1
	$E_x / 1500$	1,2	0,8	0,3	-0,3	-0,0	-1,4	-1,5
	$E_x / 37,5$	-0,1	-0,1	-0,2	-0,2	0,0	0,3	0,5
	σ_x	-23,0	-23,4	-24,0	-24,6	-25,0	-25,2	-25,1
0,3	Pretensado	-24,1	-24,1	-24,1	-24,1	-24,1	-24,1	-24,1
	$E_x / 1500$	-10,2	-5,8	-1,0	3,5	7,2	9,7	10,5
	$E_x / 37,5$	-0,1	-0,2	-0,3	-0,2	0,1	0,4	0,7
	σ_x	-34,4	-30,1	-25,4	-20,8	-16,8	-14,0	-12,0
0,4	Pretensado	-24,1	-24,1	-24,1	-24,1	-24,1	-24,1	-24,1
	$E_x / 1500$	-16,4	-9,5	-1,9	5,5	11,8	16,0	17,4
	$E_x / 37,5$	-0,2	-0,3	-0,3	-0,2	0,1	0,5	0,8
	σ_x	-40,7	-33,9	-26,3	-18,8	-12,2	-7,6	-5,9
	Pretensado	-24,1	-24,1	-24,1	-24,1	-24,1	-24,1	-24,1
	$E_x / 1500$	-18,3	-10,7	-4,2	6,2	13,2	17,9	19,5
	$E_x / 37,5$	-0,2	-0,3	-0,3	-0,1	-0,1	0,5	0,9
	σ_x	-42,6	-35,1	-26,6	-18,0	-11,0	-5,7	-3,7

σ_φ (kg/cm²)

$\frac{x}{l}$	T	Valores de φ en grados						
		0	21	42	63	84	105	126
0	$\frac{\sigma_\varphi / 1500}{\sigma_\varphi}$	0,1	0,0	0,0	-0,1	-0,1	-0,2	-0,2
	$\frac{\sigma_\varphi / 37,5}{\sigma_\varphi}$	-1,0	-5,4	-10,2	-14,9	-18,6	-21,2	-22,1
	$\frac{\sigma_\varphi}{\sigma_\varphi}$	-0,9	-5,4	-10,2	-15,0	-18,6	-21,4	-22,3
0,1	$\frac{\sigma_\varphi / 1500}{\sigma_\varphi}$	0,0	0,3	0,8	1,4	1,9	2,2	2,3
	$\frac{\sigma_\varphi / 37,5}{\sigma_\varphi}$	-0,4	-5,0	-10,8	-15,5	-19,1	-21,4	-22,2
	$\frac{\sigma_\varphi}{\sigma_\varphi}$	-0,4	-5,3	-10,0	-14,1	-17,4	-19,2	-19,9
0,2	$\frac{\sigma_\varphi / 1500}{\sigma_\varphi}$	-0,1	0,4	1,3	2,2	3,0	3,5	3,7
	$\frac{\sigma_\varphi / 37,5}{\sigma_\varphi}$	-0,1	-5,7	-11,1	-15,9	-19,4	-21,7	-22,5
	$\frac{\sigma_\varphi}{\sigma_\varphi}$	-0,2	-5,3	-9,8	-13,7	-16,4	-18,4	-18,8
0,3	$\frac{\sigma_\varphi / 1500}{\sigma_\varphi}$	-0,1	0,4	1,2	2,2	3,0	3,5	3,7
	$\frac{\sigma_\varphi / 37,5}{\sigma_\varphi}$	-0,1	-5,0	-11,1	-16,0	-19,7	-22,0	-22,8
	$\frac{\sigma_\varphi}{\sigma_\varphi}$	-0,2	-5,4	-9,9	-13,8	-16,7	-18,5	-19,1
0,4	$\frac{\sigma_\varphi / 1500}{\sigma_\varphi}$	-0,1	0,3	1,0	1,8	2,4	2,3	3,1
	$\frac{\sigma_\varphi / 37,5}{\sigma_\varphi}$	-0,2	-5,5	-10,9	-16,0	-19,9	-22,3	-23,1
	$\frac{\sigma_\varphi}{\sigma_\varphi}$	-0,3	-5,2	-9,9	-14,2	-17,5	-20,0	-20,0
0,5	$\frac{\sigma_\varphi / 1500}{\sigma_\varphi}$	-0,1	0,3	0,8	1,5	2,1	2,6	2,7
	$\frac{\sigma_\varphi / 37,5}{\sigma_\varphi}$	-0,3	-5,4	-10,8	-15,8	-19,9	-22,4	-23,3
	$\frac{\sigma_\varphi}{\sigma_\varphi}$	-0,4	-5,1	-10,0	-14,3	-17,8	-19,8	-20,0

$\sigma_{x\varphi}$

$\frac{x}{l}$		Valores de φ en grados						
		0	21	42	63	84	105	126
0	$\sigma_{\varphi_x}/1500$	8,6	13,5	15,4	14,6	11,3	6,1	0,0
	$\sigma_z/37,5$	0,5	0,6	0,4	0,2	0,1	0,0	0,0
	$\sigma_{x\varphi}$	0,1	14,1	15,8	14,8	11,4	6,1	0,0
0,1	$\sigma_{\varphi_x}/1500$	7,3	12,3	14,1	13,4	10,4	5,5	0,0
	$\sigma_z/37,5$	0,5	0,5	0,4	0,2	0,2	0,0	0,0
	$\sigma_{x\varphi}$	0,3	12,8	14,5	13,8	10,6	5,5	0,0
0,2	$\sigma_{\varphi_x}/1500$	6,0	9,3	10,8	10,3	8,0	4,4	0,0
	$\sigma_z/37,5$	0,4	0,4	0,3	0,3	0,2	0,1	0,0
	$\sigma_{x\varphi}$	0,4	9,7	11,1	10,6	8,2	4,5	0,0
0,3	$\sigma_{\varphi_x}/1500$	3,7	5,7	6,7	6,5	5,1	2,8	0,0
	$\sigma_z/37,5$	0,2	0,2	0,2	0,3	0,2	0,1	0,0
	$\sigma_{x\varphi}$	3,9	5,9	6,9	6,8	5,3	2,8	0,0
0,4	$\sigma_{\varphi_x}/1500$	1,7	2,0	3,1	3,0	2,4	1,3	0,0
	$\sigma_z/37,5$	0,1	0,1	0,1	0,2	0,1	0,1	0,0
	$\sigma_{x\varphi}$	1,8	2,7	3,2	3,2	2,5	1,4	0,0
0,5	$\sigma_{\varphi_x}/1500$	0,0	0,0	0,0	0,0	0,0	0,0	0,0
	$\sigma_z/37,5$	0,0	0,0	0,0	0,0	0,0	0,0	0,0
	$\sigma_{x\varphi}$	0,0	0,0	0,0	0,0	0,0	0,0	0,0

Las tensiones principales tienen la expresión:

$$\left. \begin{array}{l} \sigma_1 \\ \sigma_{11} \end{array} \right\} = \frac{1}{2} \left[(\sigma_x + \sigma_\varphi) \pm \sqrt{(\sigma_x - \sigma_\varphi)^2 + (2\sigma_{x\varphi})^2} \right]$$

y sus valores se pueden ver en el cuadro siguiente:

Tensiones principales en Kg/cm^2 , en la cara inferior de la cuba

ACUEDUCTO LLENO (con 330 T. de compresión longitudinal)

$\frac{x}{l}$		Valores de φ en grados						
		0	21	42	63	84	105	126
0	σ_1	17,7	10,0	1,4	-7,6	-15,3	-20,5	-22,3
	σ_{II}	-5,4	-10,3	-31,8	-44,5	-54,3	-60,7	-64,8
0,1	σ_1	5,4	3,9	-0,4	-0,4	-12,6	-17,9	-19,9
	σ_{II}	-12,3	-23,3	-31,9	-38,0	-41,4	-42,3	-42,3
0,2	σ_1	1,5	-1,1	-3,7	-7,3	-11,5	-16,0	-18,8
	σ_{II}	-24,7	-27,6	-30,1	-31,1	-30,0	-27,4	-25,1
0,3	σ_1	0,2	-3,9	-7,3	-0,7	-11,5	-12,6	-12,9
	σ_{II}	-34,8	-31,5	-28,1	-25,0	-22,1	-19,0	-19,1
0,4	σ_1	-4,7	-5,0	-0,3	-12,6	-11,2	-7,5	-5,9
	σ_{II}	-45,3	-34,2	-26,9	-20,5	-18,5	-20,2	-20,0
0,5	σ_1	-0,4	-5,1	-10,0	-14,3	-11,0	-5,7	-3,7
	σ_{II}	-42,6	-35,1	-26,6	-18,0	-17,8	-19,8	-20,6

De la observación del cuadro anterior se deduce que para el acueducto en servicio la cara interior de la cuba está trabajando a compresión, exceptuando una zona en la parte alta del apoyo que presenta una tensión máxima de tracción de $17,7 \text{ Kg/cm}^2$.

Como se ha indicado anteriormente, en las zonas de apoyo de los vanos se aplicarán unos pretensados parciales situados en la parte superior de la cuba con objeto de introducir unas tensiones de compresión en las zonas donde aparecen las tracciones a que se hace mención en el párrafo anterior. Las tensiones resultantes se pueden ver más adelante en el cálculo de este pretensado parcial.

Tambien se deduce del cuadro anterior que la máxima compresión en el hormigón es de $62,8 \text{ Kg/cm}^2$. Ahora bien; esta tensión llega a ser $70,9 \text{ Kg/cm}^2$ en los vanos inmediatos al arco, ya que el esfuerzo longitudinal de compresión puede ser de - 440 T.

Esfuerzos principales en el plano medio.

En los cuadros que se incluyen a continuación se pueden ver los esfuerzos principales N_I y N_{II} en el plano medio, así como el ángulo γ que forma el esfuerzo principal N_I con el eje + x. Estos esfuerzos se dan para acueducto vacío y acueducto lleno. En el caso de acueducto lleno se ha considerado el esfuerzo de compresión longitudinal de 330 T.

ACUEDUCTO VACIO.

Esfuerzos principales en el plano medio.

x/l	Ψ	σ_x	σ_y	γ
0	0°	18.196	-876	12°22'
0,1		9.577	-4.619	20°23'
0,2		2.925	-2.717	39°57'
0,3		204	-5.344	70°31'
0,4		201	-7.740	78°52'
0,5		307	-9.573	90°
0	21°	12.944	-2.908	25°42'
0,1		8.513	-3.925	33°16'
0,2		4.426	-4.328	42°46'
0,3		1.473	-4.405	50°52'
0,4		96	-4.810	74°35'
0,5		-257	-5.010	90°
0	42°	8.172	-6.318	41°20'
0,1		7.061	-5.151	42°53'
0,2		5.000	-5.023	39°41'
0,3		2.892	-3.402	46°37'
0,4		1.014	-2.016	53°47'
0,5		-108	-1.034	90°
0	63°	6.415	-7.249	46°45'
0,1		6.252	-6.270	45°42'
0,2		5.039	-4.603	44°56'
0,3		3.265	-2.932	44°45'
0,4		1.512	-1.312	45°42'
0,5		-100	-30	0°
0	84°	1.949	-14.321	65°15'
0,1		2.993	-8.553	61°17'
0,2		3.788	-3.764	46°28'
0,3		4.710	-78	29°15'
0,4		5.735	129	11°38'
0,5		6.170	304	0°
0	105°	483	-17.099	80°27'
0,1		1.179	-3.723	73°52'
0,2		2.143	-2.161	53°45'
0,3		2.924	-718	46°16'
0,4		7.503	467	4°53'
0,5		8.370	452	0°
0	126°	0	-18.095	90°
0,1		454	-8.006	90°
0,2		708	-718	90°
0,3		4.936	708	0°
0,4		8.136	580	0°
0,5		9.140	538	0°

ACUEDUCTO LLENO

Esfuerzos principales en el plato suelto

x	φ	σ_1	σ_{II}	γ
0		26.070	-6.350	20°20'
0,1		7.700	-17.083	50°
0,2		1.830	-36.810	70°10'
0,3	0°	205	-52.075	83°50'
0,4		-227	-80.987	87°40'
0,5		-493	-63.780	90°
0		18.241	-22.530	45°
0,1		11.077	-31.003	60°
0,2		5.425	-39.875	70°55'
0,3	21°	2.121	-46.530	79°35'
0,4		686	-50.754	85°40'
0,5		311	-52.192	90°
0		12.490	-42.991	61°40'
0,1		11.370	-43.370	65°50'
0,2		7.990	-41.810	69°40'
0,3	42°	4.380	-40.222	70°26'
0,4		2.022	-39.578	83°30'
0,5		1.200	-39.480	90°
0		7.634	-63.126	70°50'
0,1		9.590	-52.610	69°50'
0,2		8.093	-41.987	70°15'
0,3	63°	5.974	-33.526	75°15'
0,4		3.385	-20.515	81°45'
0,5		2.374	-46.941	90°
0		3.815	-79.005	78°
0,1		6.927	-59.073	75°55'
0,2		7.800	-40.792	75°15'
0,3	84°	6.550	-27.170	70°30'
0,4		4.415	-19.005	81°15'
0,5		3.394	-16.393	90°
0		943	-90.477	84°10'
0,1		4.652	-62.828	82°45'
0,2		6.538	-39.222	81°40'
0,3	105°	6.250	-22.290	81°30'
0,4		4.822	-12.538	84°0
0,5		4.113	-9.370	90°
0		0	-94.227	90°
0,1		3.763	-64.048	90°
0,2		5.889	-38.502	90°
0,3	126°	5.949	-20.387	90°
0,4		4.941	-10.142	90°
0,5		4.372	-6.905	90°

NOTACION

a = factor de la parte real de cuatro de las soluciones de la ecuación característica de octavo grado.

b = factor de la parte imaginaria de cuatro de las soluciones de la ecuación característica de octavo grado.

B_1, B_2, B_3 y B_4 = constantes de integración que se determinan con las condiciones de sustentación y recorridos en los bordes longitudinales de la cuba.

c = igual que a.

d = igual que b

d = distancia horizontal definida en la fig. 2

e = base de los logaritmos neperianos

E = módulo de elasticidad del hormigón de la cuba, en Kg/cm².

$f_1(\varphi); f_2(\varphi); f_3(\varphi); f_4(\varphi)$ = funciones de integración

$g_1; g_2$ = valores auxiliares para determinar las raíces de la ecuación característica.

h = altura de agua

$h_1; h_2$ = valores auxiliares para determinar las raíces de la ecuación característica.

I = momento de inercia

i = $\sqrt{-\lambda}$

l = longitud de un vano del acueducto = 20 m.

m = raíz de la ecuación característica de octavo grado.

M_F = momento flector

M_x = momento unitario de flexión en una sección transversal de la cuba. Positivo si produce tracción en la cara interior. En Kg.m. por m.

M_{xs} = momento unitario de flexión en una sección transversal de la cuba. Positivo si produce tracción en la cara interior. En Kg.m. por m. Debido al vano simplemente apoyado en sus extremos.

M_φ = momento unitario de flexión en una sección longitudinal de la cuba. Positivo si produce tracción en la cara interior. En Kg.m. por m.

$M_{\varphi s}$ = momento unitario de flexión en una sección longitudinal de la cuba. Positivo si produce tracción en la cara interior. En Kg.m. por m. Debido al vano simplemente apoyado en sus extremos.

M_t = momento unitario de torsión en la cuba. Positivo si produce un esfuerzo tangencial positivo en la cara interior. En Kg.m. por m.

M_{ts} = momento unitario de torsión en la cuba. Positivo si produce un esfuerzo tangencial positivo en la cara interior. En Kg.m. por m. Debido al vano simplemente apoyado en sus extremos.

N_x = esfuerzo unitario normal en una sección transversal de la cuba. Positivo si es tracción. En Kg. por m.

N_{xm} = esfuerzo unitario normal en una sección transversal de la cuba. Positivo si es tracción. En Kg. por m. Correspondiente al estado membrana.

N_{xs} = esfuerzo unitario normal en una sección transversal de la cuba. Positivo si es tracción. En Kg. por m. Debido al vano simplemente apoyado en sus extremos.

N_φ = esfuerzo unitario normal en una sección longitudinal de la cuba. Positivo si es tracción. En Kg. por m.

$N_{\varphi m}$ = esfuerzo unitario normal en una sección longitudinal de la cuba. Positivo si es tracción. En Kg. por m. Correspondiente al estado membrana.

N_{φ_s} = esfuerzo unitario normal en una sección longitudinal de la cuba. Positivo si es tracción. En Kg. por m. Debido al vano simplemente apoyado en sus extremos.

N_{φ_x} = esfuerzo unitario tangencial en el plano medio de la cuba. Positivo cuando produce tracción según los valores de las coordenadas crecientes. En Kg. por m.

$N_{\varphi_{xm}}$ = esfuerzo unitario tangencial en el plano medio de la cuba. Positivo cuando produce tracción según los valores de las coordenadas crecientes. En Kg. por m. Correspondiente al estado membrana.

$N_{\varphi_{xs}}$ = esfuerzo unitario tangencial en el plano medio de la cuba. Positivo cuando produce tracción según los valores de las coordenadas crecientes. En Kg. por m. Debido al vano simplemente apoyado en sus extremos.

N_I ; N_{II} = esfuerzos principales en el plano medio de la cuba. En Kg. por m.

n = número entero impar. $n = 1$ para el primer término de la serie de Fourier, $n = 3$ para el 2° , etc.

P = peso de la cabeza longitudinal de la cuba. En Kg. por m.

P_h = presión hidrostática por metro cuadrado de superficie,

P_p = peso propio por metro cuadrado de cuba

Q_x = esfuerzo cortante unitario radial en una sección transversal. Positivo si actúa hacia el exterior en la cara más próxima al eje de las x. En Kg. por m.

Q_{xs} = esfuerzo cortante unitario radial en una sección transversal. Positivo si actúa hacia el exterior en la cara más próxima al eje de las x. En Kg. por m. Debido al vano simplemente apoyado en sus extremos.

Q_φ = Esfuerzo cortante unitario radial en una sección longitudinal. Positivo si actúa hacia el exterior en la cara más próxima al eje de las . En Kg. por m.

$Q_{\varphi s}$ = Esfuerzo cortante unitario radial en una sección longitudinal. Positivo si actúa hacia el exterior en la cara más próxima al eje de las . En Kg. por m. Debido al vano simplemente apoyado en sus extremos.

q = Valor auxiliar para determinar las raíces de la ecuación característica.

R_\varnothing = Reacción por unidad de longitud en los bordes - longitudinales. En Kg. por m.

r = 1,665 m = Radio medio de la sección transversal de la cuba.

S_v = Esfuerzo tangencial en la unión de la cuba con la cabeza longitudinal. En Kg. por m:

T_t = Esfuerzo en los tensores que unen las cabezas. En Kg. por m.

t = 0,15 m = Espesor de la cuba

u = Corrimiento longitudinal

u_m = Corrimiento longitudinal. Correspondiente al estado membrana.

u_s = Corrimiento longitudinal. Debido al vano simplemente apoyado en sus extremos.

u_v = Corrimiento longitudinal. Correspondiente a la cabeza de la cuba.

v = Corrimiento transversal

v_m = Corrimiento transversal. Correspondiente al estado membrana.

v_s = Corrimiento transversal. Debido al vano simplemente apoyado en sus extremos.

w = Corrimiento radial

w_m = Corrimiento radial. Correspondiente al estado membrana.

w_s = Corrimiento radial. Debido al vano simplemente apoyado en sus extremos.

x = Coordenada longitudinal medida desde el apoyo dorsal del vano.

Y = Componente transversal de las cargas en la cuba. En Kg/m^2

Z = Componente radial de las cargas en la cuba. En Kg/m^2

$$\alpha = \frac{\pi R \cdot r}{l}$$

$$\beta = \frac{t^2}{12 \cdot r^2}$$

γ = Ángulo que forma el esfuerzo principal N_I con el eje $\phi \times$

δ = Corrimiento horizontal en el borde longitudinal de la cuba

Δ = Valor auxiliar para determinar las raíces de la ecuación característica.

ε_v = Deformación longitudinal de la cabeza de la cuba.

θ = Ángulo definido en la fig. 1

σ_x = Tensión longitudinal. En Kg/cm^2

σ_y = Tensión transversal. En Kg/cm^2

τ_{xy} = Tensión tangencial. En Kg/cm^2

σ_I, σ_{II} = Tensiones principales. En Kg/cm^2 .

Σ = Signo de suma

$$\rho = \frac{\sqrt{\alpha}}{\sqrt[4]{2} \sqrt[8]{\beta}}$$

$$\lambda = \frac{\alpha^2}{P^2}$$

ψ = Coordenada angular medida desde el borde izquierdo de la cuba.

$\varphi_0 = 54^\circ$ = Ángulo definido en la fig. 1

$\beta_k = 126^\circ$ = Semíángulo de abertura de la cuba.

$\beta_1, \beta_2, \beta_3, \dots, \beta_8$ = Funciones trigonométrico-exponenciales de ψ .

ω = Ángulo medido desde el borde derecho de la cuba.

Ω_v = Área de la sección transversal de la cabeza de la cuba. En m^2 .